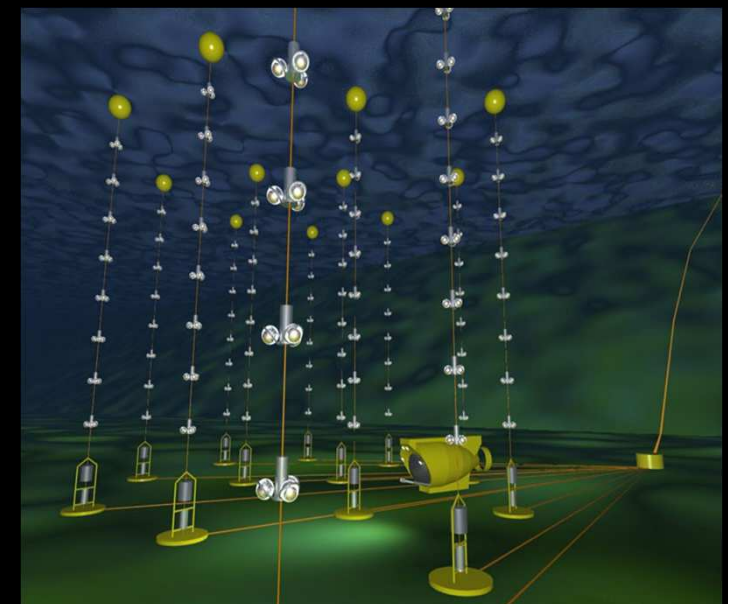
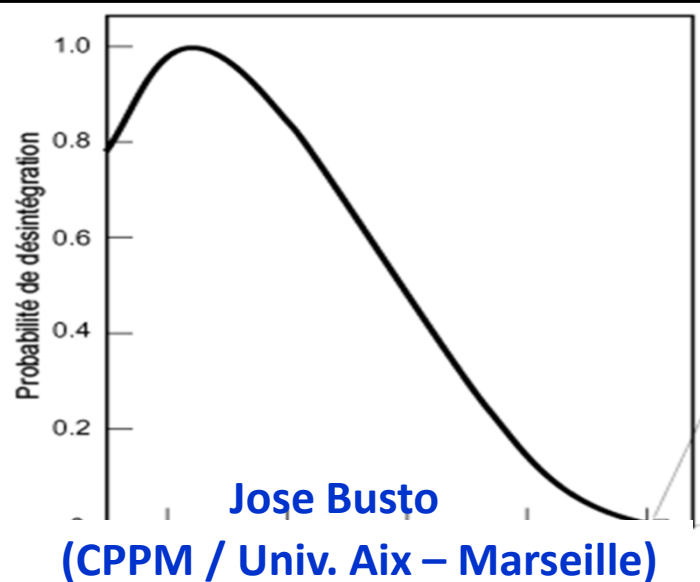


LE NEUTRINO

*Histoire et Physique d'un
invraisemblable Remède*



Préhistoire du neutrino



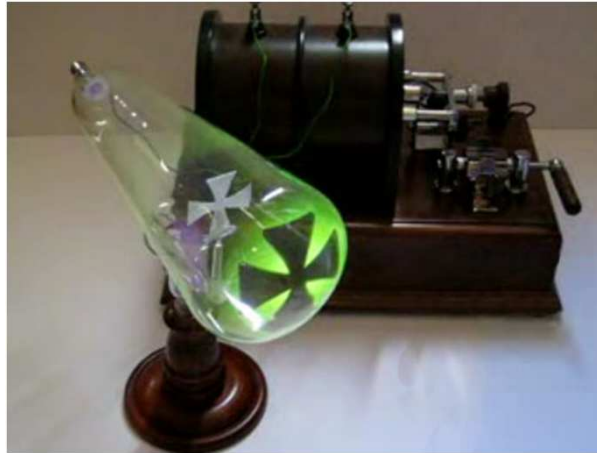
Naissance de la radioactivité

DÉCOUVERTE DES RAYONS X

1895



Wilhelm Conrad Röntgen



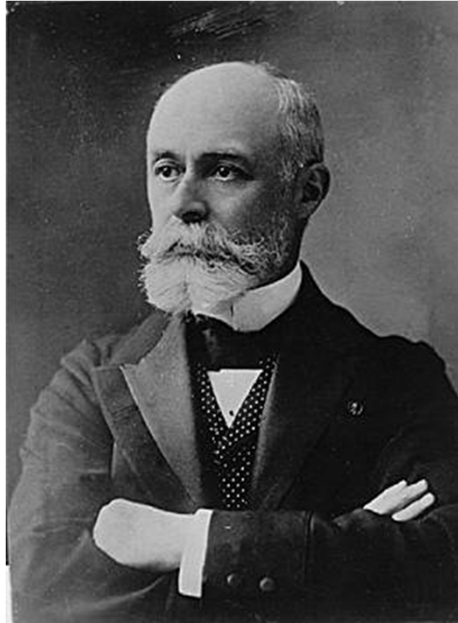
Tube de Crookes



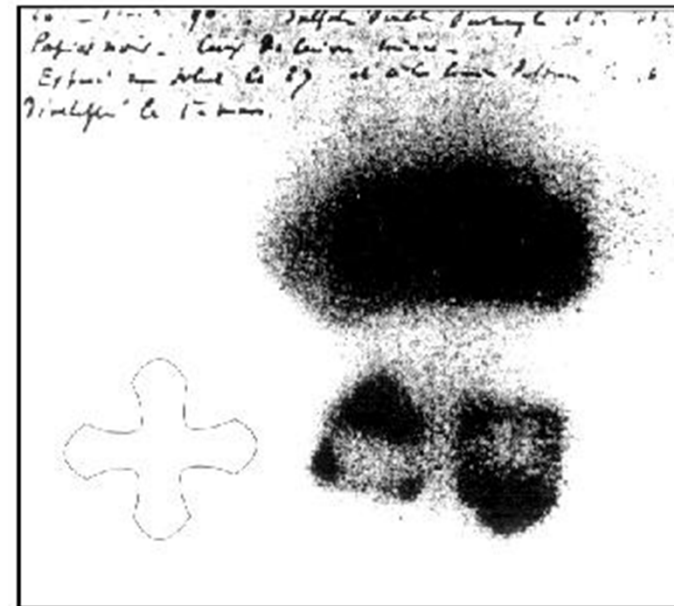
Radiographie aux rayons X

DÉCOUVERTE DE LA RADIOACTIVITÉ

Janvier 1896



Henri Becquerel



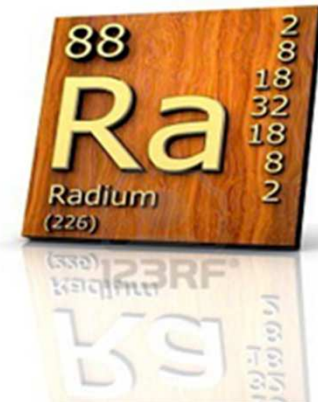
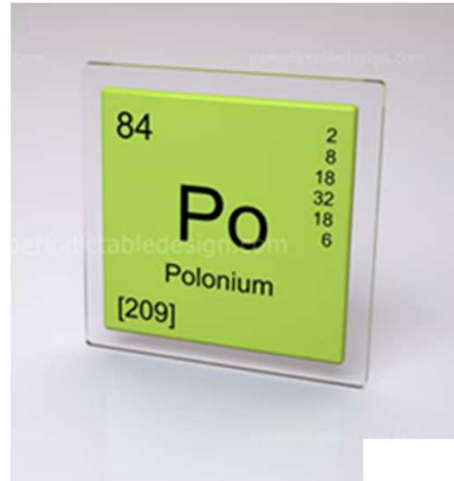
Plaque photographique impressionnée par la radioactive

DÉCOUVERTE DES PREMIERS RADIOÉLÉMENTS

1898

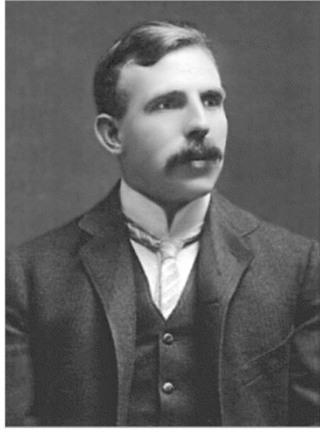


Pierre et Marie Curie



PROPRIÉTÉS DES RAYONNEMENTS

1900 . . .



Rutherford



Curie



Soddy



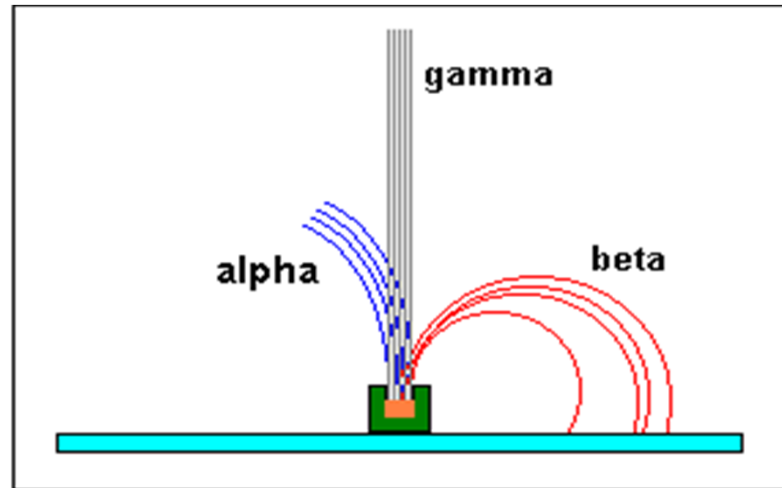
Geiger



Villard

et bien d'autres

PROPRIÉTÉS DES RAYONNEMENTS



- Radioactivité alpha : charge positive => noyau d'He
- Radioactivité beta : charge négative => électrons
- Radioactivité gamma : photons de haute énergie



PROPRIÉTÉS DES RAYONNEMENTS

En général :

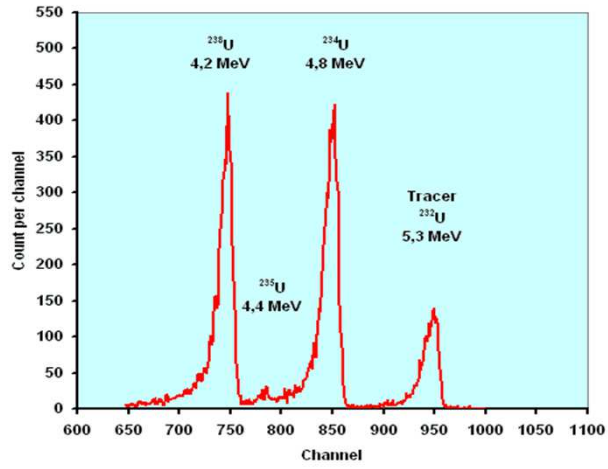
Noyau_A → **Noyau_B** + **Particule**

Avec Masse (Noyau) \gg Masse (Particule)

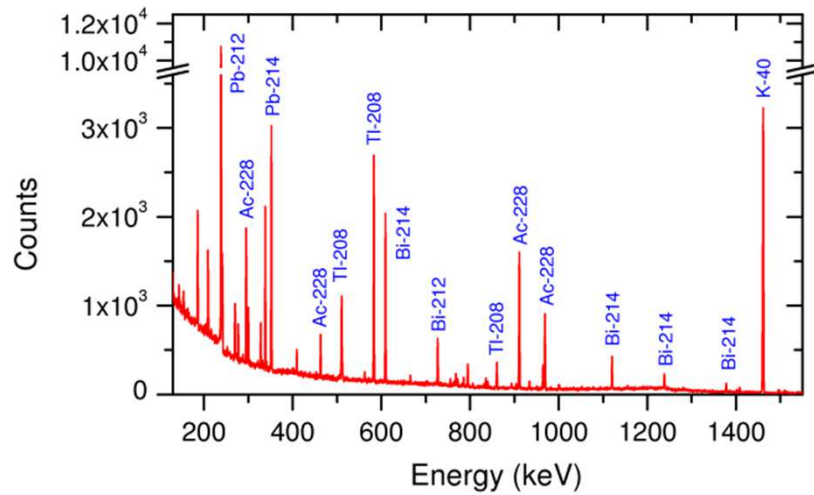
Conservation de : $\left\{ \begin{array}{l} \text{Energie} \quad E_A = E_B + E_p \\ \text{Impulsion} \quad \vec{P}_A = \vec{P}_B + \vec{P}_p \end{array} \right.$

$$\Rightarrow E_p = (M_A - M_B - M_p) \times \frac{M_B}{M_B + M_p} = C^{te}$$

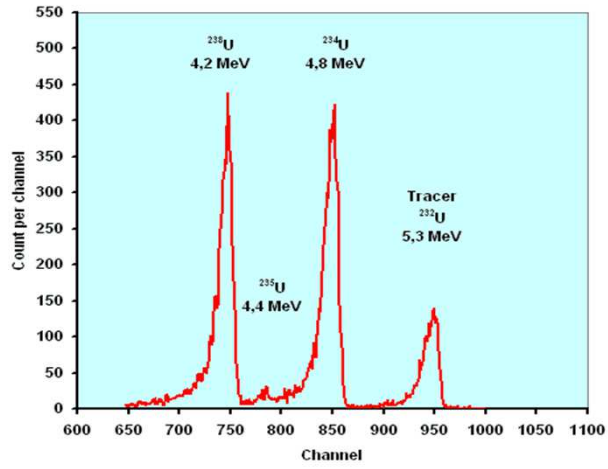
\Rightarrow l' énergie de la particule est « discrète »



Spectre alpha => OK

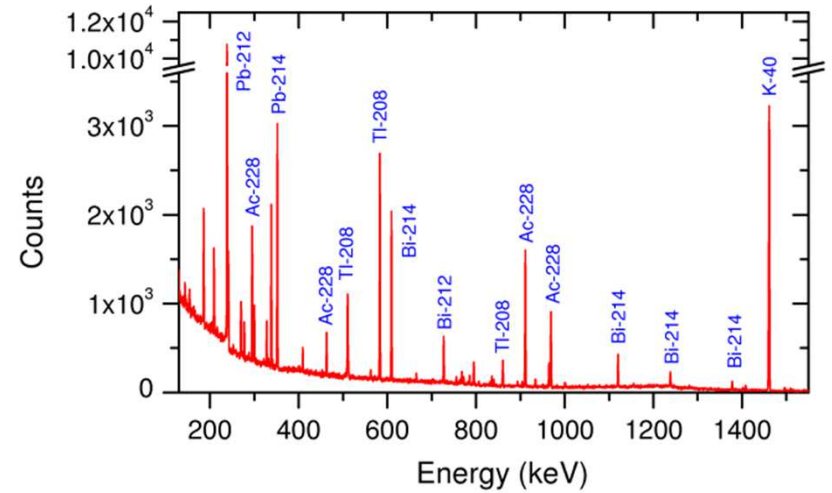
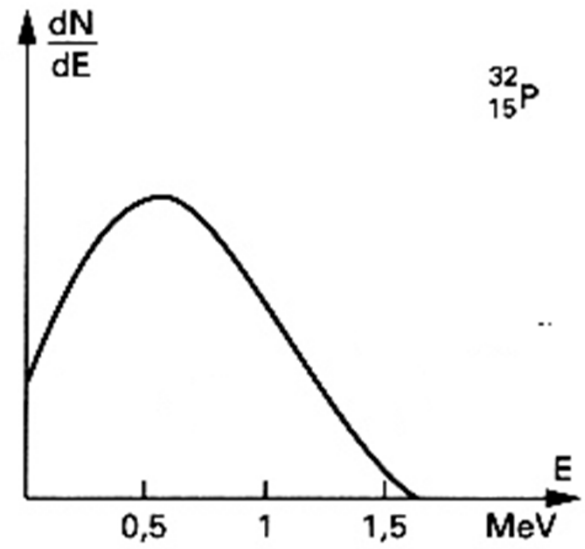


Spectre gamma => OK



Spectre alpha => OK

Spectre beta => !!!!???



Spectre gamma => OK

L'énergie n'est elle pas conservée ?!



Histoire du neutrino



NAISSANCE D'UNE IDÉE

December 4, 1930

Dear radioactive ladies and gentlemen,

...I have hit upon a 'desperate remedy' to save...the law of conservation of energy.

Namely the possibility that there exists in the nuclei electrically neutral particles, that I call neutrons... I agree that my remedy could seem incredible... but only the one who dare can win...

Unfortunately I cannot appear in person, since I am indispensable at a ball here in Zurich.

Your humble servant
W. Pauli



Original - Photographie auf 24.12.1933
Abschrift/15.12.33

FN

Offener Brief an die Gruppe der Radioaktiven bei der
Gauvereins-Tagung zu Tübingen.

Abschrift

Physikalisches Institut
der Eidg. Technischen Hochschule
Zürich

Zürich, 4. Dez. 1930
Usterstrasse

Liebe Radioaktive Damen und Herren,

Wie der Ueberbringer dieser Zeilen, den ich halbvollst
anzuhören bitte, Ihnen das näherem auseinandersetzen wird, bin ich
angesichts der "falschen" Statistik der N- und Li-6 Kerne, sowie
des kontinuierlichen beta-Spektrums auf einen verzweifelten Ausweg
verfallen um den "Wechselatz" (1) der Statistik und den Energiesatz
zu retten. Nämlich die Möglichkeit, es könnten elektrisch neutrale
Teilchen, die ich Neutronen nennen will, in den Kernen existieren,
welche den Spin $1/2$ haben und das Ausschliessungsprinzip befolgen und
sich von Lichtquanten ausserdem noch dadurch unterscheiden, dass sie
nicht mit Lichtgeschwindigkeit laufen. Die Masse der Neutronen
müsste von derselben Grössenordnung wie die Elektronenmasse sein und
jedenfalls nicht grösser als 0,01 Protonenmasse.- Das kontinuierliche
beta-Spektrum wäre dann verständlich unter der Annahme, dass beim
beta-Zerfall mit dem Elektron jeweils noch ein Neutron emittiert
wird, derart, dass die Summe der Energien von Neutron und Elektron
konstant ist.

UNE IDÉE INVÉRIFIABLE ?

- Masse très faible ou nulle
- Charge nulle
- Interaction très difficile

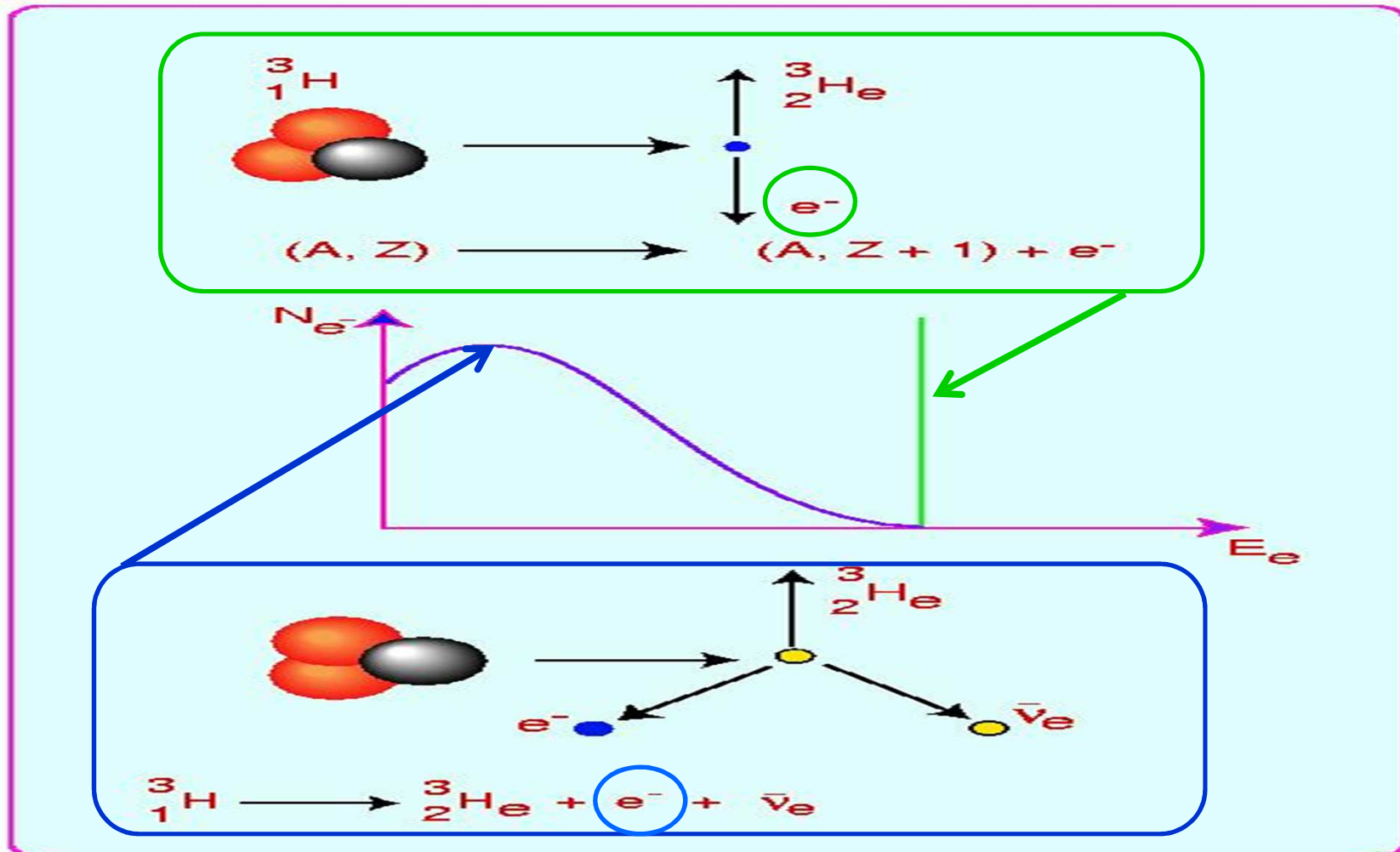


*« Je viens de faire quelque chose d'horrible.
J'ai inventé une particule indétectable »*

« Sur les 10000 milliards de neutrinos qui venant du Soleil traversent chaque seconde notre corps, seulement un, en moyenne, interagira avec lui au cours de notre vie! »



L'idée de Pauli

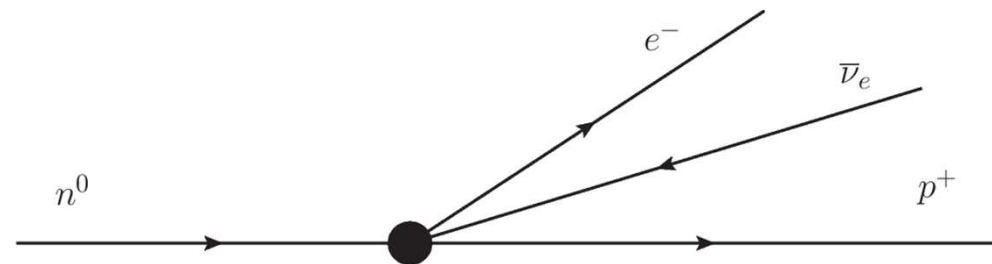
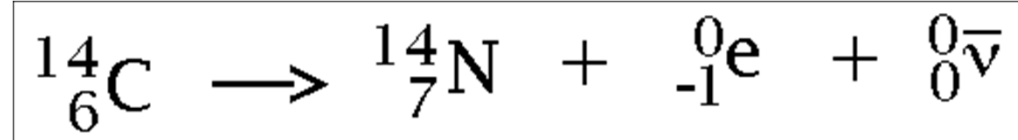


ADOPTION DU NEUTRINO



Fermi 1933

Théorie de la décroissance beta



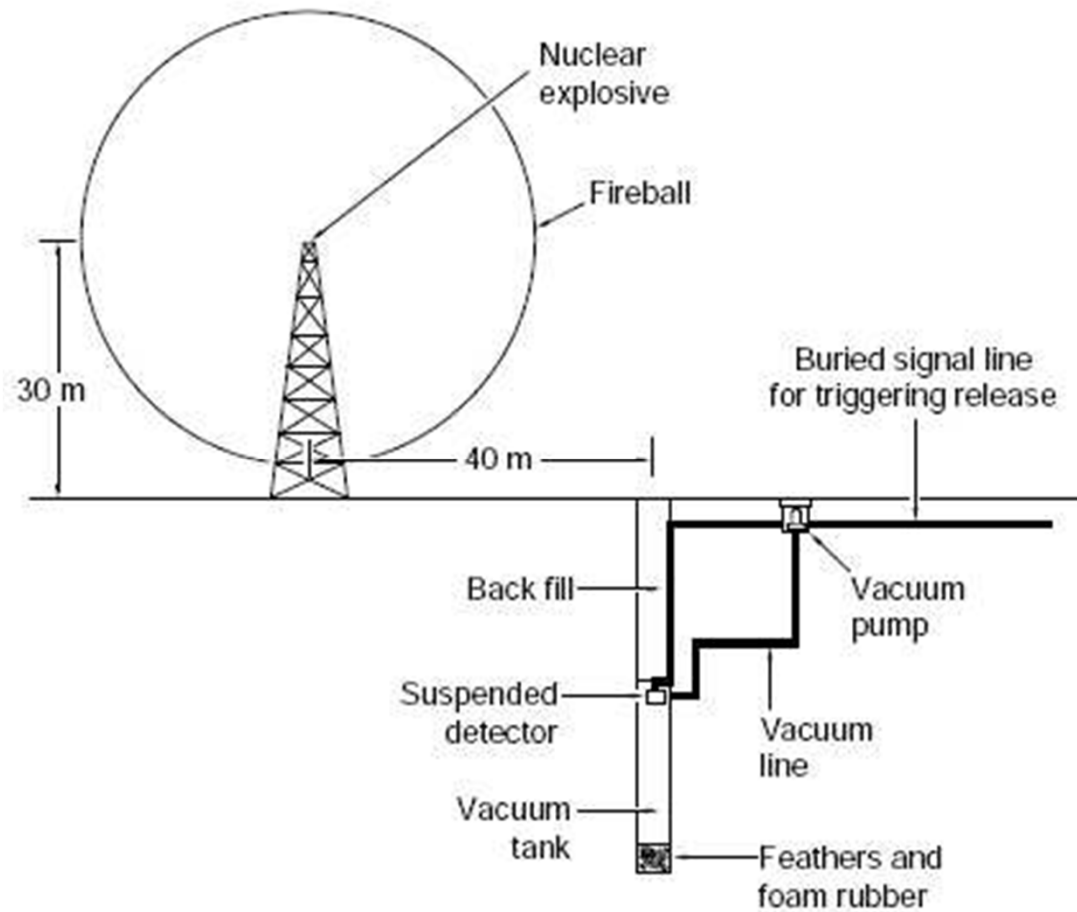
Le « neutron » de Pauli devient le neutrino de Fermi

Où peut-on trouver des neutrinos en grande quantité ?



Les produit de fission sont des émetteurs beta => neutrinos

Premières idées





Réacteur nucléaire de Handford



Réacteur nucléaire de Savannah River

Mieux dans une centrale nucléaire

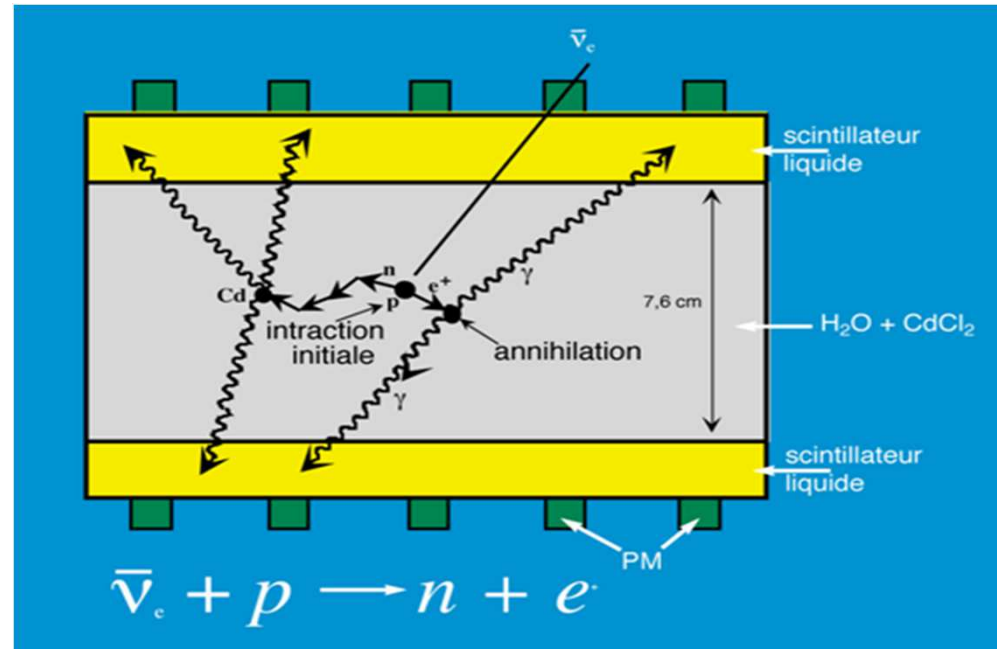
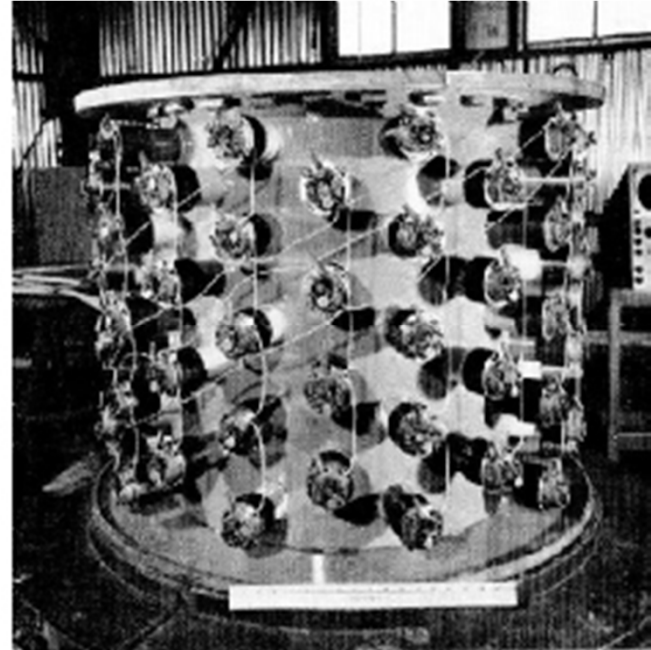
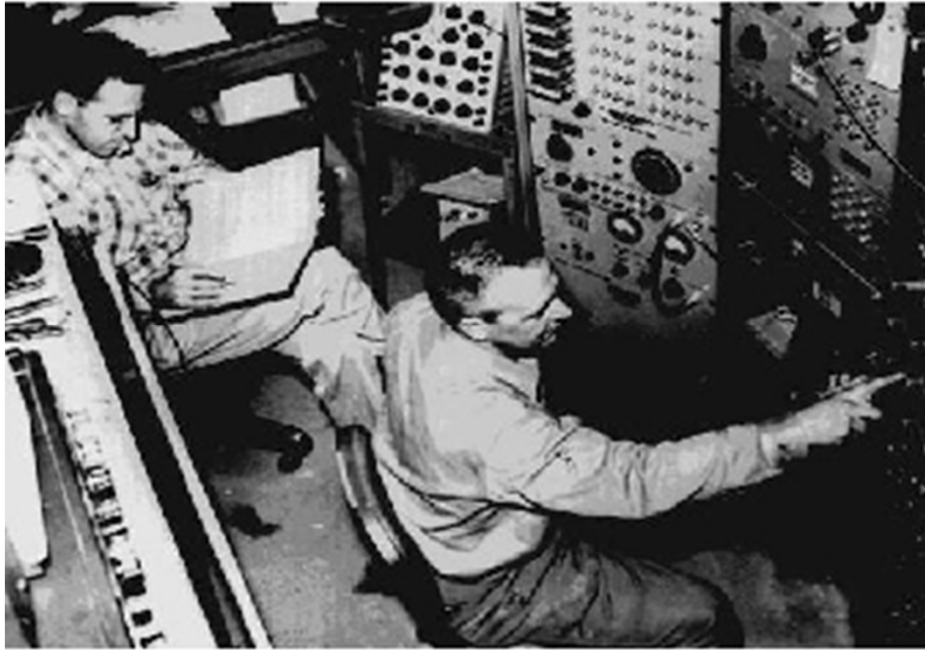
Expérience plotergeist



C. Cowan

F. Reines

1953 a 1956



PLC 00153

VIA RADIOBUISSE

Briefdienst - Telegramme

Abteilung - Fach

Postfach - Nr.

NAME - ADDR

Stadt - Nr.

Stunde - Minute

NAME - ADDR

NEW YORK

Brieftelegramm

74 15 VL 58 -1 -10

LT

NACHLASS
PROF. W. PAULI

PROFESSOR M PAULI
ZURICH UNIVERSITY ZURICH

Per Post

①

NACHLASS
PROF. W. PAULI

WE ARE HAPPY TO INFORM YOU THAT WE HAVE DEFINITELY DETECTED
NEUTRINOS FROM FISSION FRAGMENTS BY OBSERVING INVERSE BETA DECA
OF PROTONS OBSERVED CROSS SECTION AGREES WELL WITH EXPECTED SIX
TIMES TEN TO MINUS FORTY FOUR SQUARE CENTIMETERS

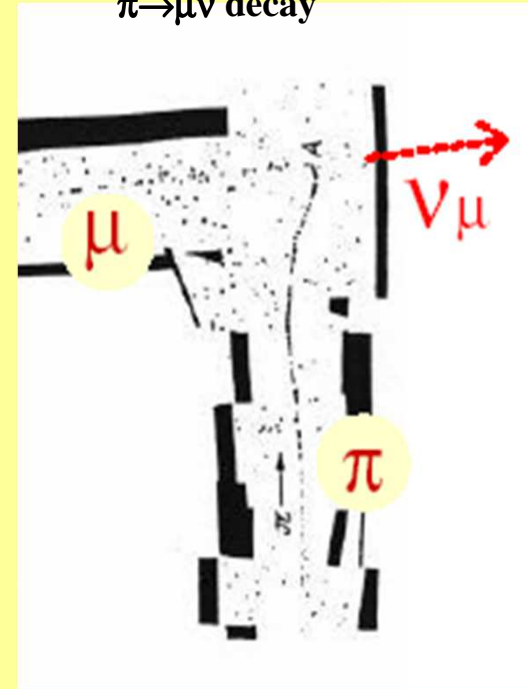
FREDERICK REINES AND CLYDE COHN
BOX 1663 LOS ALAMOS NEW MEXICO

PL 30 400 Y 100 274

UNE BALADE EN MONTAGNE

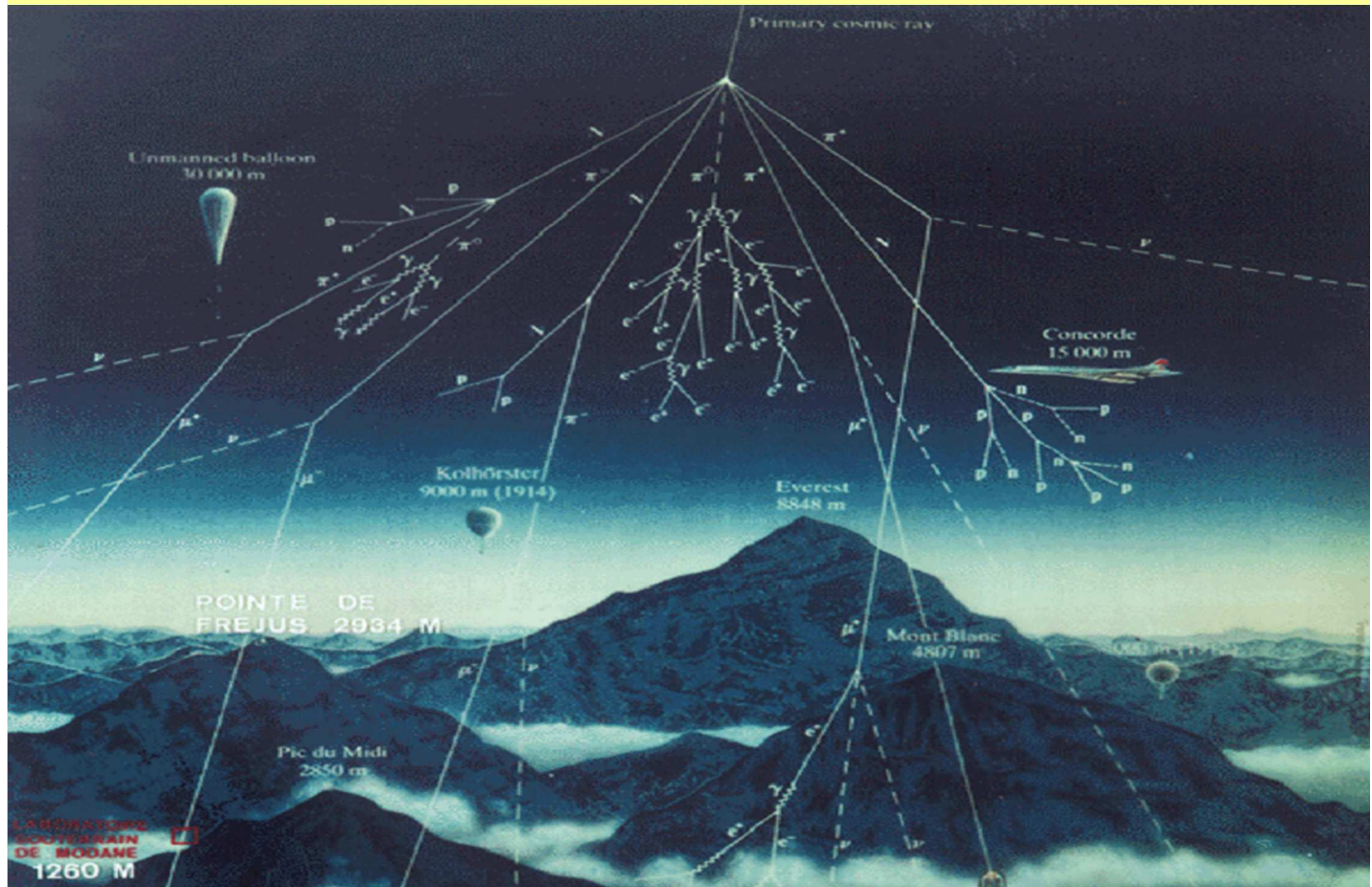


1st Observed
 $\pi \rightarrow \mu \nu$ decay



Découverte du muon (électron lourd) dans les rayons cosmiques en 1937 : Anderson et Neddermeyer

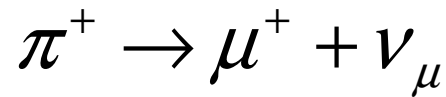
Les Rayons Cosmiques avec l'atmosphère comme cible



Deux Neutrinos

1962

Premier faisceau
de neutrinos
artificiels



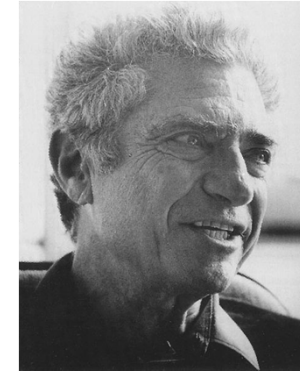
Ces neutrinos ν_μ ne produisent
que des muons, pas d'électrons
quand ils interagissent avec la
matière



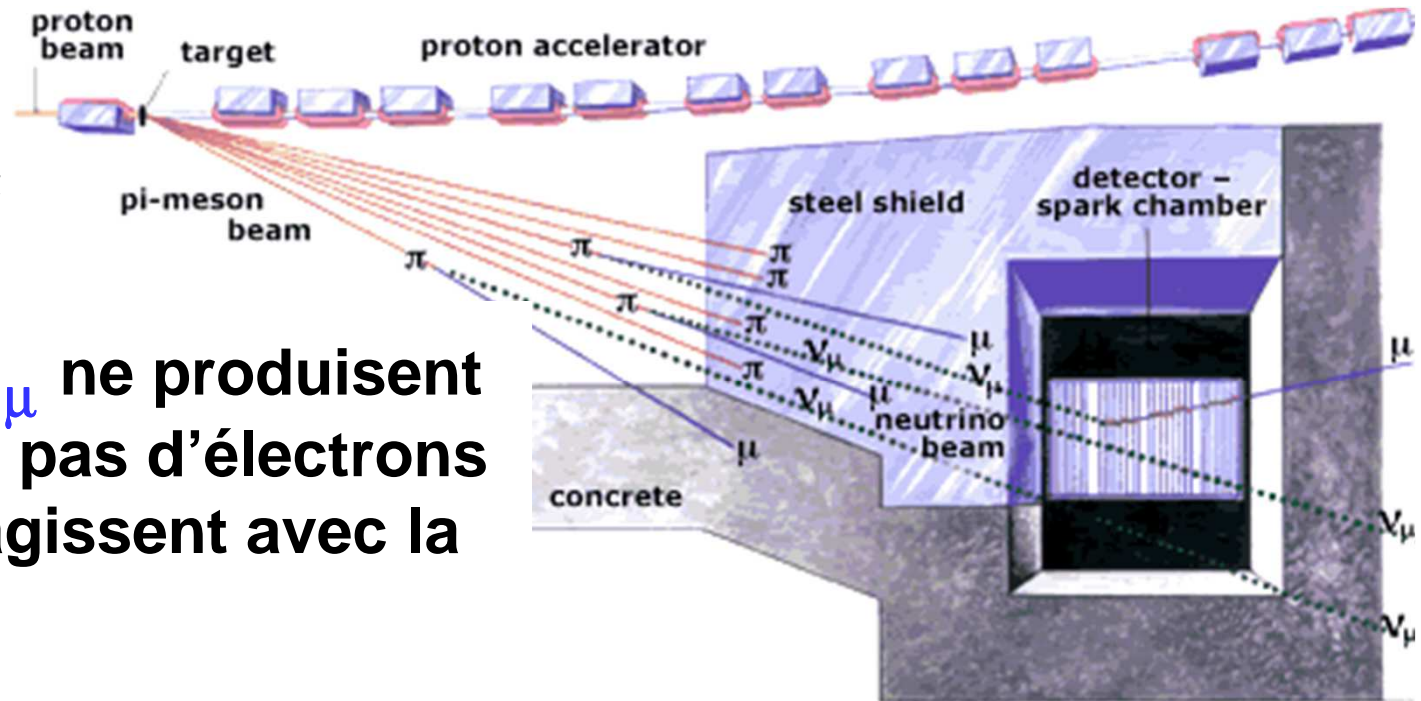
Schwartz



Lederman



Steinberger



- 1973 Découverte d'un nouveau « électron » super lourd : le tau



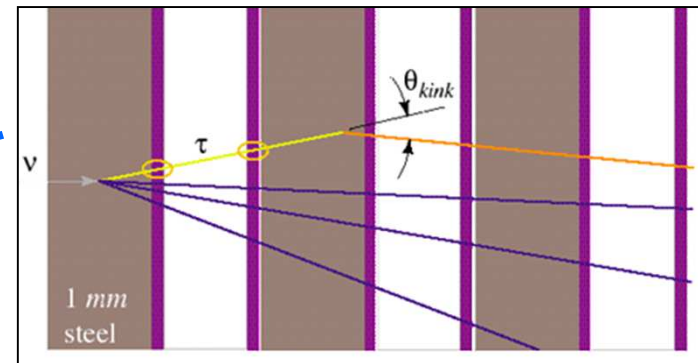
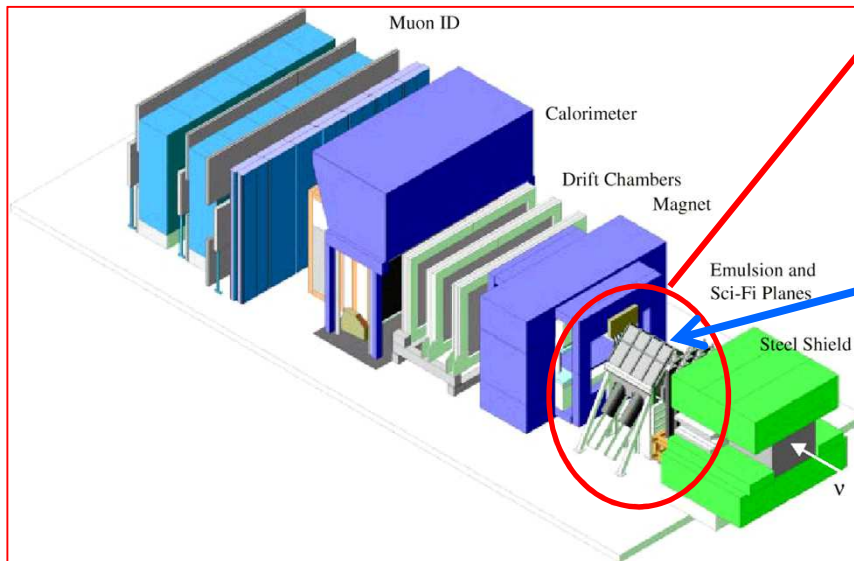
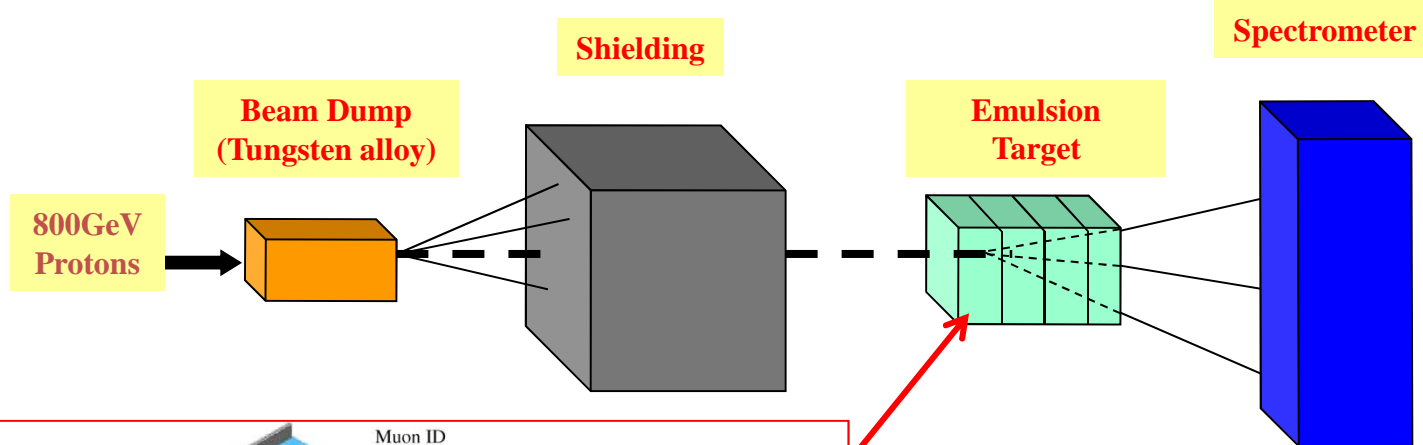
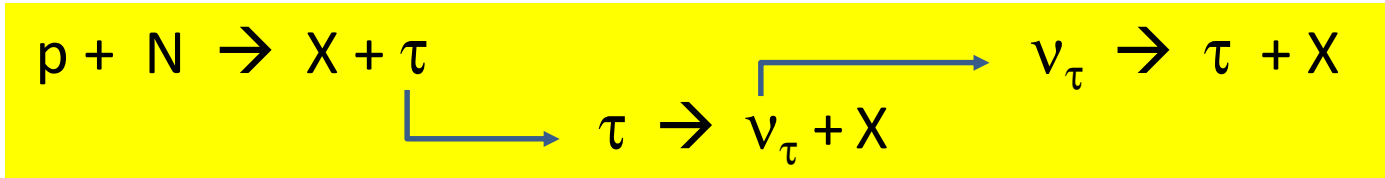
SPEAR @ SLAC



Trois Neutrinos

DONUT @ FERMILAB

- 2001 découverte du neutrino de tau



Emulsion photo

Le neutrino

Aujourd'hui
en France

et ailleurs

En 1932, 5 particules (dont une hypothétique le ν)

e^- p n γ ν

En 2000, ~ 200 particules

e^- p n γ ν
 π^- π^+ π^0 μ τ
 Δ^0 Δ^- Ω^- Λ^+ Σ^0
 K^+ K^0

Tout cela ne peut pas être « élémentaire » !

Modelé Standard

12 particules élémentaires

4 forces fondamentales

Particules
de
Matière

Particules
de
Interaction

FERMIONS












1^{ère} Génération
(matière ordinaire)

2^{ème} Génération

3^{ème} Génération

LEPTONS

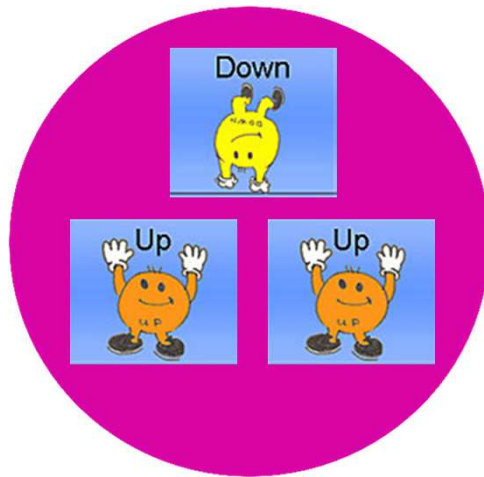
QUARKS

Electron 	Neutrino  Electronique	Up 	Down 
Muon 	Neutrino  Muonique	Strange 	Charmed 
Tau 	Neutrino  Tauonique	Bottom 	Top 
Photon (<i>électromagnétisme</i>) 	8 Gluons (<i>force forte</i>) 	$W^+ W^- Z^0$ (<i>force faible</i>) 	Graviton ?? (<i>gravitation</i>) 

Modelé Standard

12 particules élémentaires

Agrégats

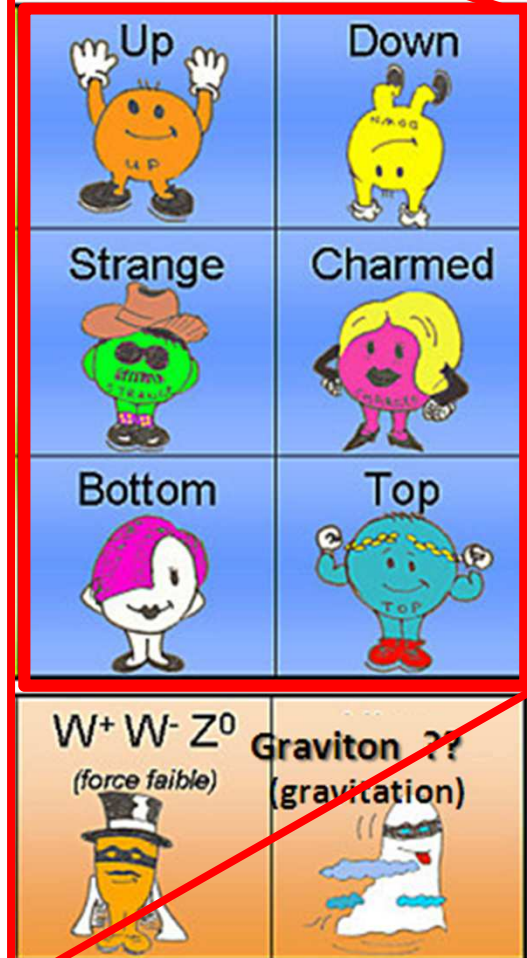


proton

Mais aussi :

$n, \pi, K, \Delta, \Lambda, \Sigma, \Xi, \Omega \dots$

QUARKS



Standard Model of FUNDAMENTAL PARTICLES AND INTERACTIONS

The Standard Model summarizes the current knowledge in Particle Physics. It is the quantum theory that includes the theory of strong interactions (quantum chromodynamics or QCD) and the unified theory of weak and electromagnetic interactions (electroweak). Gravity is included on this chart because it is one of the fundamental interactions even though not part of the "Standard Model."

FERMIONS

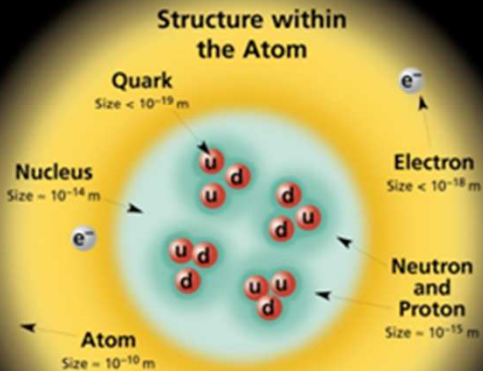
matter constituents
spin = 1/2, 3/2, 5/2, ...

Leptons spin = 1/2			Quarks spin = 1/2		
Flavor	Mass GeV/c ²	Electric charge	Flavor	Approx. Mass GeV/c ²	Electric charge
ν_e electron neutrino	<1×10 ⁻⁸	0	u up	0.003	2/3
e electron	0.000511	-1	d down	0.006	-1/3
ν_μ muon neutrino	<0.0002	0	c charm	1.3	2/3
μ muon	0.106	-1	s strange	0.1	-1/3
ν_τ tau neutrino	<0.02	0	t top	175	2/3
τ tau	1.7771	-1	b bottom	4.3	-1/3

Spin is the intrinsic angular momentum of particles. Spin is given in units of \hbar , which is the quantum unit of angular momentum, where $\hbar = h/2\pi = 6.58 \times 10^{-25}$ GeV s = 1.05×10^{-34} J s.

Electric charges are given in units of the proton's charge. In SI units the electric charge of the proton is 1.60×10^{-19} coulombs.

The **energy** unit of particle physics is the electronvolt (eV), the energy gained by one electron in crossing a potential difference of one volt. **Masses** are given in GeV/c² (remember $E = mc^2$), where 1 GeV = 10^9 eV = 1.60×10^{-10} joule. The mass of the proton is 0.938 GeV/c² = 1.67×10^{-27} kg.



If the protons and neutrons in this picture were 10 cm across, then the quarks and electrons would be less than 0.1 mm in size and the entire atom would be about 10 km across.

BOSONS

force carriers
spin = 0, 1, 2, ...

Unified Electroweak spin = 1		
Name	Mass GeV/c ²	Electric charge
γ photon	0	0
W⁻	80.4	-1
W⁺	80.4	+1
Z⁰	91.187	0

Strong (color) spin = 1		
Name	Mass GeV/c ²	Electric charge
g gluon	0	0

Color Charge

Each quark carries one of three types of "strong charge," also called "color charge." These charges have nothing to do with the colors of visible light. There are eight possible types of color charge for gluons. Just as electrically-charged particles interact by exchanging photons, in strong interactions color-charged particles interact by exchanging gluons. Leptons, photons, and **W** and **Z** bosons have no strong interactions and hence no color charge.

Quarks Confined in Mesons and Baryons

One cannot isolate quarks and gluons; they are confined in color-neutral particles called **hadrons**. This confinement (binding) results from multiple exchanges of gluons among the color-charged constituents. As color-charged particles (quarks and gluons) move apart, the energy in the color-force field between them increases. This energy eventually is converted into additional quark-antiquark pairs (see figure below). The quarks and antiquarks then combine into hadrons; these are the particles seen to emerge. Two types of hadrons have been observed in nature: **mesons** $q\bar{q}$ and **baryons** qqq .

Residual Strong Interaction

The strong binding of color-neutral protons and neutrons to form nuclei is due to residual strong interactions between their color-charged constituents. It is similar to the residual electrical interaction that binds electrically neutral atoms to form molecules. It can also be viewed as the exchange of mesons between the hadrons.

PROPERTIES OF THE INTERACTIONS

Baryons qqq and Antibaryons $\bar{q}\bar{q}\bar{q}$					
Baryons are fermionic hadrons. There are about 120 types of baryons.					
Symbol	Name	Quark content	Electric charge	Mass GeV/c ²	Spin
p	proton	uud	1	0.938	1/2
\bar{p}	anti-proton	$\bar{u}\bar{u}\bar{d}$	-1	0.938	1/2
n	neutron	udd	0	0.940	1/2
Λ	lambda	uds	0	1.116	1/2
Ω^-	omega	sss	-1	1.672	3/2

Property	Interaction	Gravitational	Weak	Electromagnetic	Strong	
			(Electroweak)		Fundamental	Residual
Acts on:		Mass - Energy	Flavor	Electric Charge	Color Charge	See Residual Strong Interaction Note
Particles experiencing:		All	Quarks, Leptons	Electrically charged	Quarks, Gluons	Hadrons
Particles mediating:		Graviton (not yet observed)	W⁺ W⁻ Z⁰	γ	Gluons	Mesons
Strength relative to electromag for two u quarks at:		10 ⁻⁴¹	0.8	1	25	Not applicable to quarks
	10 ⁻¹⁸ m	10 ⁻⁴¹	10 ⁻⁴	1	60	
	3×10 ⁻¹⁷ m	10 ⁻³⁶	10 ⁻⁷	1	Not applicable to hadrons	20

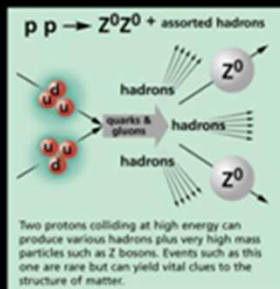
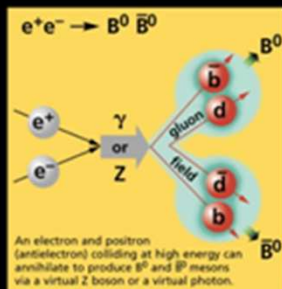
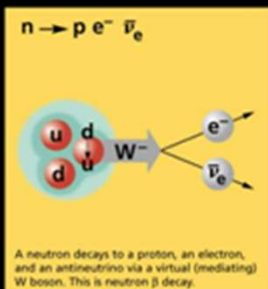
Mesons $q\bar{q}$					
Mesons are bosonic hadrons. There are about 140 types of mesons.					
Symbol	Name	Quark content	Electric charge	Mass GeV/c ²	Spin
π^+	pion	u\bar{d}	+1	0.140	0
K⁻	kaon	s\bar{u}	-1	0.494	0
ρ^+	rho	u\bar{d}	+1	0.770	1
B⁰	B-zero	d\bar{b}	0	5.279	0
η_c	eta-c	c\bar{c}	0	2.980	0

Matter and Antimatter

For every particle type there is a corresponding antiparticle type, denoted by a bar over the particle symbol (unless + or - charge is shown). Particle and antiparticle have identical mass and spin but opposite charges. Some electrically neutral bosons (e.g., Z^0 , γ , and $\eta_c = c\bar{c}$, but not $K^0 = d\bar{s}$) are their own antiparticles.

Figures

These diagrams are an artist's conception of physical processes. They are not exact and have no meaningful scale. Green shaded areas represent the cloud of gluons or the gluon field, and red lines the quark paths.



The Particle Adventure

Visit the award-winning web feature *The Particle Adventure* at <http://ParticleAdventure.org>

This chart has been made possible by the generous support of:

U.S. Department of Energy
U.S. National Science Foundation
Lawrence Berkeley National Laboratory
Stanford Linear Accelerator Center
American Physical Society, Division of Particles and Fields
DURLE INDUSTRIES, INC.

©2000 Contemporary Physics Education Project, CPEP is a non-profit organization of teachers, physicists, and educators. Send mail to: CPEP, MS 50-308, Lawrence Berkeley National Laboratory, Berkeley, CA, 94720. For information on charts, text materials, hands-on classroom activities, and workshops, see:

<http://CPEPweb.org>

Standard Model of FUNDAMENTAL PARTICLES AND INTERACTIONS

The Standard Model summarizes the current knowledge in Particle Physics. It is the quantum theory that includes the theory of strong interactions (quantum chromodynamics or QCD) and the unified theory of weak and electromagnetic interactions (electroweak). Gravity is included on this chart because it is one of the fundamental interactions even though not part of the "Standard Model."

FERMIONS

matter constituents
spin = 1/2, 3/2, 5/2, ...

Leptons spin = 1/2			Quarks		
Flavor	Mass GeV/c ²	Electric charge	Flavor	Mass GeV/c ²	Electric charge
ν_e electron neutrino	<1×10 ⁻⁸	0	u up	0.0023	2/3
e electron	0.000511	-1	d down	0.0048	-1/3
ν_μ muon neutrino	<0.0002	0	c charm	1.27	2/3
μ muon	0.106	-1	s strange	0.14	-1/3
ν_τ tau neutrino	<0.02	0	t top	173.1	2/3
τ tau	1.7771	-1	b bottom	4.18	-1/3

Spin is the intrinsic angular momentum of particles. Spin is given in quantum unit of angular momentum, where $\hbar = h/2\pi = 6.58 \times 10^{-25}$ J·s.

Electric charges are given in units of the proton's charge. In SI unit the proton is 1.60×10^{-19} coulombs.

The **energy** unit of particle physics is the electronvolt (eV), the energy in crossing a potential difference of one volt. **Masses** are given $E = mc^2$, where $1 \text{ GeV} = 10^9 \text{ eV} = 1.60 \times 10^{-10}$ joule. The mass of the electron is 9.11×10^{-31} kg.

Baryons qqq and Antibaryons $\bar{q}\bar{q}\bar{q}$					
Baryons are fermionic hadrons. There are about 120 types of baryons.					
Symbol	Name	Quark content	Electric charge	Mass GeV/c ²	Spin
p	proton	uud	1	0.938	1/2
\bar{p}	anti-proton	$\bar{u}\bar{u}\bar{d}$	-1	0.938	1/2
n	neutron	udd	0	0.940	1/2
Λ	lambda	uds	0	1.116	1/2
Ω^-	omega	sss	-1	1.672	3/2

Prop
Stress
for tv
for tv

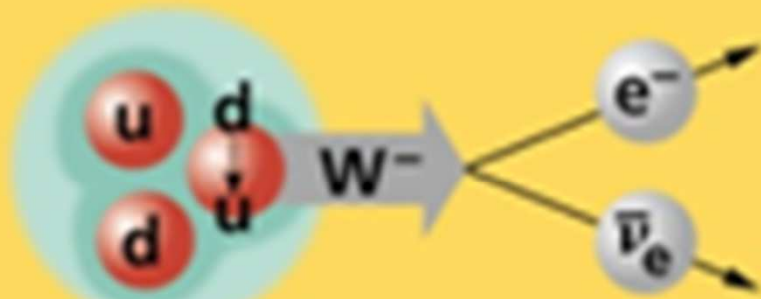
Matter and Antimatter

For every particle type there is a corresponding antiparticle type, denoted by a bar over the particle symbol (unless + or - charge is shown). Particle and antiparticle have identical mass and spin but opposite charge. Some electrically neutral bosons (e.g., Z^0 , γ , and $\eta_c = c\bar{c}$, but not $K^0 = d\bar{s}$) are their own antiparticles.

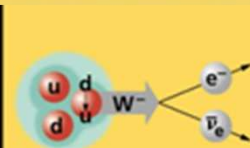
Figures

These diagrams are an artist's conception of physical processes. They are not exact and have no meaningful scale. Green shaded areas represent the cloud of gluons or the gluon field, and red lines the quark paths.

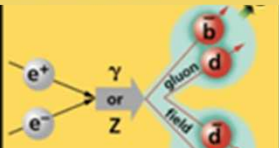
$$n \rightarrow p e^- \bar{\nu}_e$$



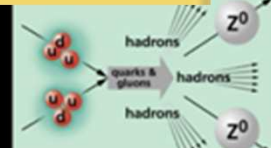
A neutron decays to a proton, an electron, and an antineutrino via a virtual (mediating) W^- boson. This is neutron β decay.



A neutron decays to a proton, an electron, and an antineutrino via a virtual (mediating) W^- boson. This is neutron β decay.



An electron and positron (antielectron) colliding at high energy can produce various hadrons plus very high mass particles such as Z^0 bosons. Events such as this one are rare but can yield vital clues to the structure of matter.



Two protons colliding at high energy can produce various hadrons plus very high mass particles such as Z^0 bosons. Events such as this one are rare but can yield vital clues to the structure of matter.

BOSONS

force carriers
spin = 0, 1, 2, ...

Unified Electroweak spin = 1		
Name	Mass GeV/c ²	Electric charge
γ photon	0	0
W^-	80.4	-1
W^+	80.4	+1
Z^0	91.187	0

Strong (color) spin = 1		
Name	Mass GeV/c ²	Electric charge
g gluon	0	0

Color Charge

Each quark carries one of three types of "strong charge," also called "color charge." These charges have nothing to do with the colors of visible light. There are eight possible types of color charge for gluons. Just as electrically-charged particles interact by exchanging photons, in strong interactions color-charged particles interact by exchanging gluons. Leptons, photons, and W and Z bosons have no strong interactions and hence no color charge.

Quarks Confined in Mesons and Baryons

One cannot isolate quarks and gluons; they are confined in color-neutral particles called **hadrons**. This confinement (binding) results from multiple exchanges of gluons among the color-charged constituents. As color-charged particles (quarks and gluons) move apart, the energy in the color-force field between them increases. This energy eventually is converted into additional quark-antiquark pairs (see figure below). The quarks and antiquarks then combine into hadrons; these are the particles seen to emerge. Two types of hadrons have been observed in nature: **mesons** $q\bar{q}$ and **baryons** qqq .

Residual Strong Interaction

The strong binding of color-neutral protons and neutrons to form nuclei is due to residual strong interactions between their color-charged constituents. It is similar to the residual electrical interaction that binds electrically neutral atoms to form molecules. It can also be viewed as the exchange of mesons between the hadrons.

Strong	
Initial	Residual
quarks	See Residual Strong Interaction Note
quarks	Hadrons
quarks	Mesons
quarks	Not applicable to quarks
hadrons	20

Mesons $q\bar{q}$					
Mesons are bosonic hadrons. There are about 140 types of mesons.					
Symbol	Name	Quark content	Electric charge	Mass GeV/c ²	Spin
π^+	pion	u\bar{d}	+1	0.140	0
K^-	kaon	s\bar{u}	-1	0.494	0
ρ^+	rho	u\bar{d}	+1	0.770	1
B^0	B-zero	d\bar{b}	0	5.279	0
η_c	eta-c	c\bar{c}	0	2.980	0

The Particle Adventure

Visit the award-winning web feature *The Particle Adventure* at <http://ParticleAdventure.org>

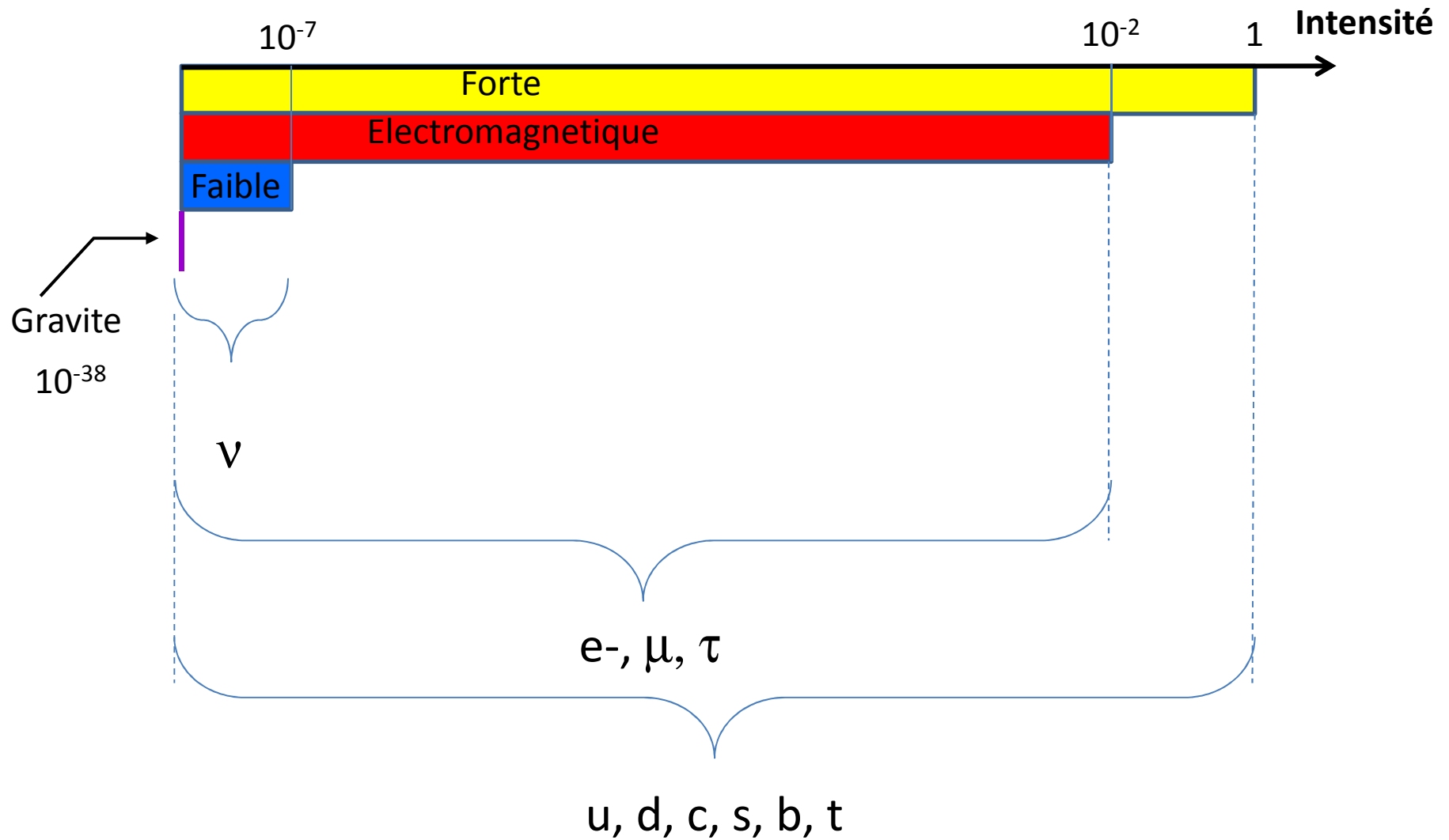
This chart has been made possible by the generous support of:

U.S. Department of Energy
U.S. National Science Foundation
Lawrence Berkeley National Laboratory
Stanford Linear Accelerator Center
American Physical Society, Division of Particles and Fields
DURLE INDUSTRIES, INC.

©2000 Contemporary Physics Education Project, CPEP is a non-profit organization of teachers, physicists, and educators. Send mail to: CPEP, MS 50-308, Lawrence Berkeley National Laboratory, Berkeley, CA, 94720. For information on charts, text materials, hands-on classroom activities, and workshops, see:

<http://CPEPweb.org>

Un mot sur l'interaction entre particules



Le neutrino : petit par la taille mais
grand par le nombre

$$\sim 1000 \gamma / \text{cm}^3$$

$$\sim 330 \nu / \text{cm}^3$$













$$\sim 10^{-7} \text{p} / \text{cm}^3$$

Physique imprécise

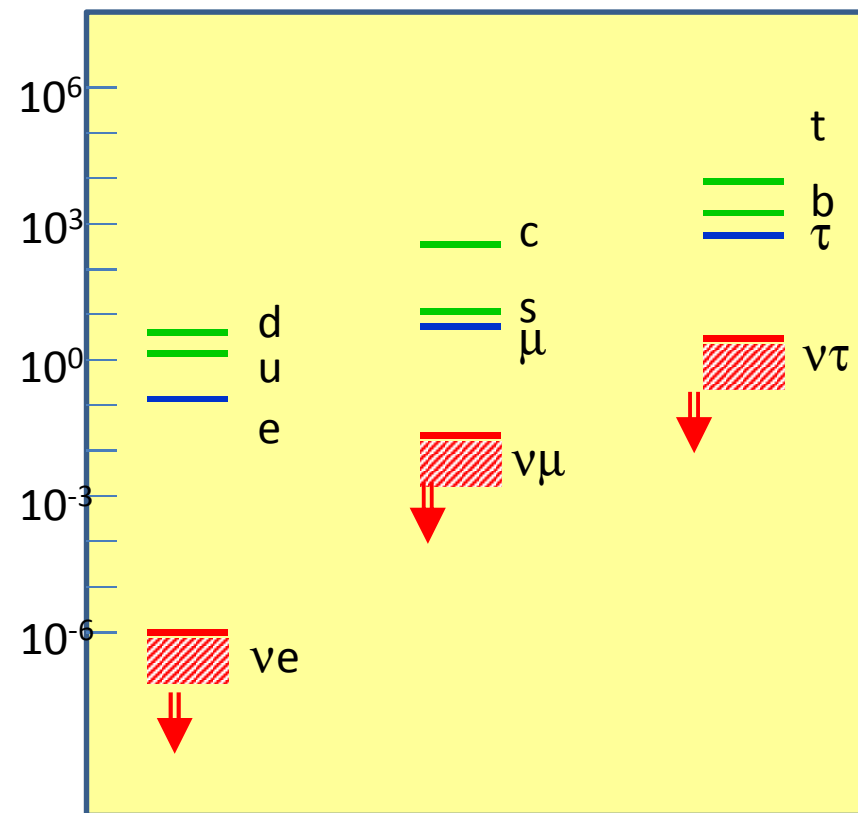
- Masse $\begin{cases} m_e < 2 \text{ eV} \\ m_\mu < 190 \text{ keV} \\ m_\tau < 18.2 \text{ MeV} \end{cases} \rightarrow \neq 0$
- Charge $< 3.7 \cdot 10^{-12} Q_e$
- Vie moyenne $> 7 \cdot 10^9 \text{ s/eV}$
- Moment magnétique $< 9 \cdot 10^{-11} \mu_B \rightarrow \neq 0$

Particule particulière

Charge électrique

Electron  Electronique	Neutrino  Electronique	Up  Up	Down  Down
Muon  Muonique	Neutrino  Muonique	Strange  Strange	Charmed  Charmed
Tau  Tauonique	Neutrino  Tauonique	Bottom  Bottom	Top  Top
≠0	=0	≠0	≠0

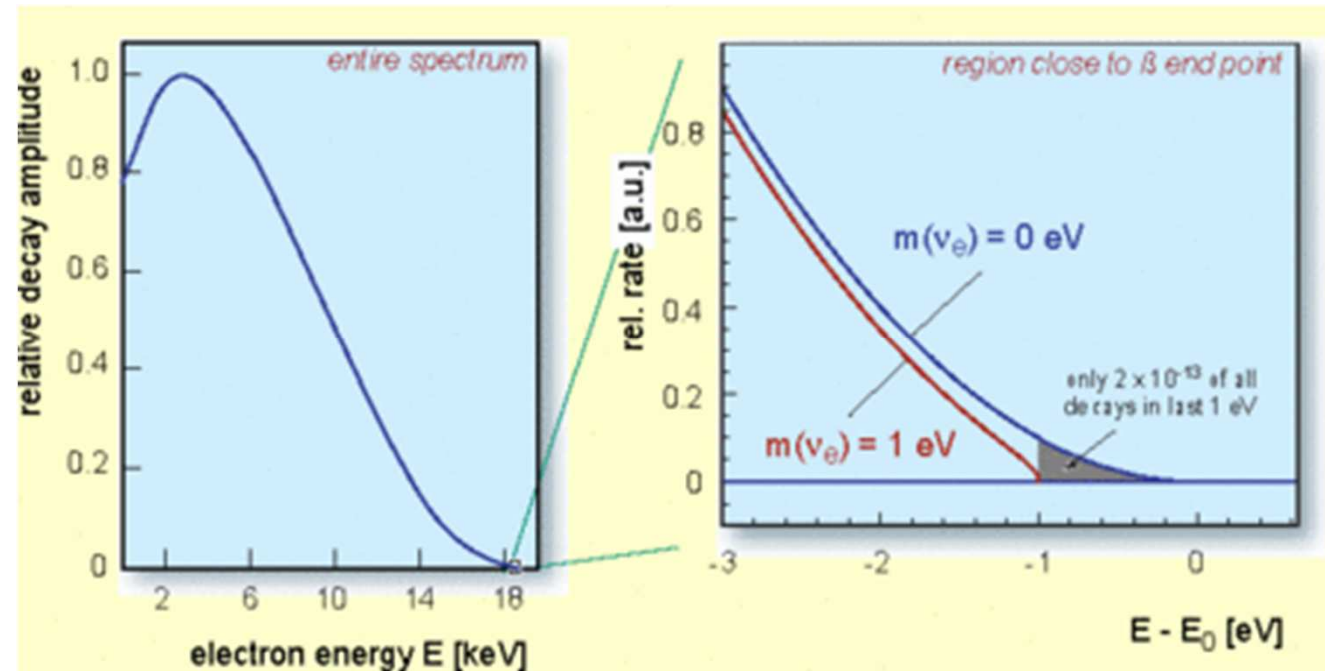
Masse
(MeV)



Comment peser les neutrinos ?

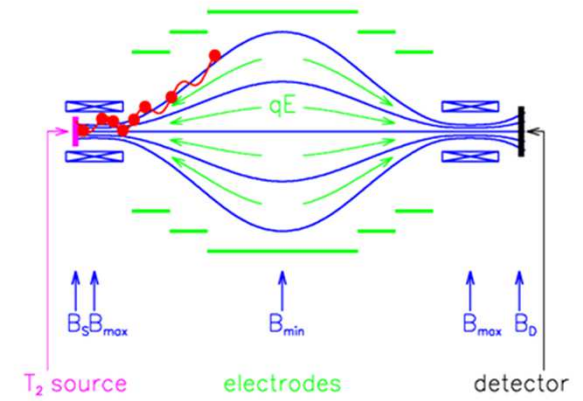


E. Fermi

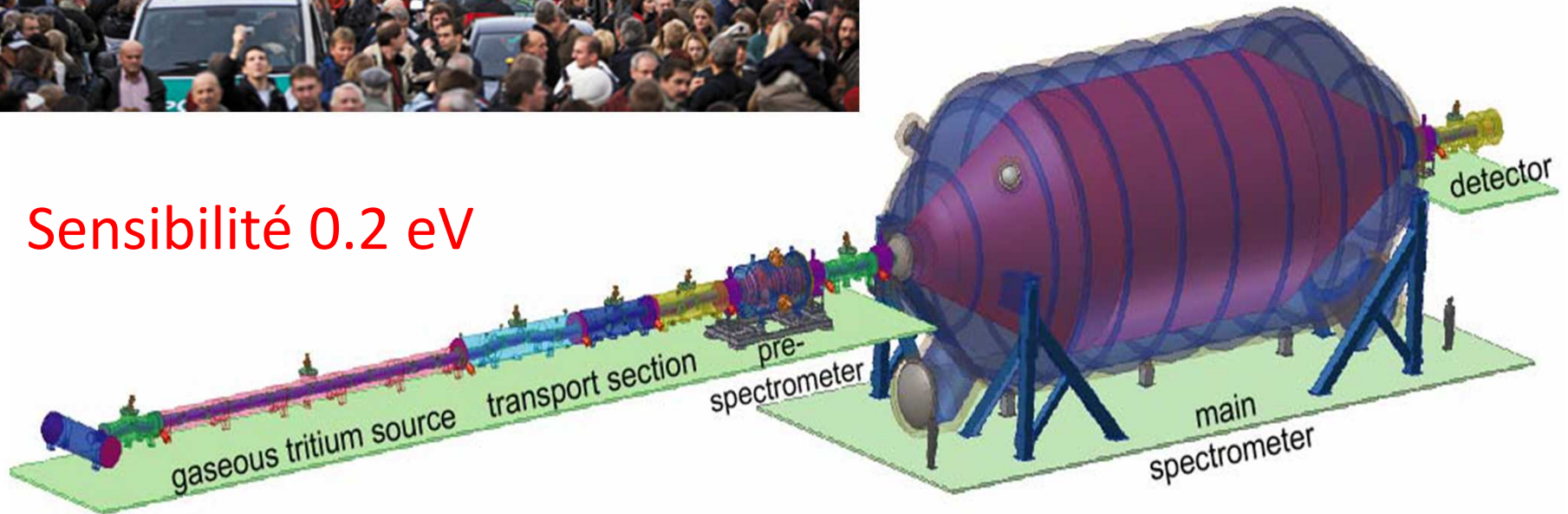


Mesure de la fin du spectre beta

Expérience KATRIN



Sensibilité 0.2 eV















Une physique laborieuse !















Particule ou AntiParticule ?

Particules

Anti-Particules

Electron 	Neutrino Electronique 	Up 	Down 
Muon 	Neutrino Muonique 	Strange 	Charmed 
Tau 	Neutrino Tauonique 	Bottom 	Top 

Down 	Up 	Neutrino Electronique 	Electron 
Charmed 	Strange 	Neutrino Muonique 	Muon 
Top 	Bottom 	Neutrino Tauonique 	Tau 



Electron

$Q < 0$



Up

$Q > 0$



Up

$Q < 0$

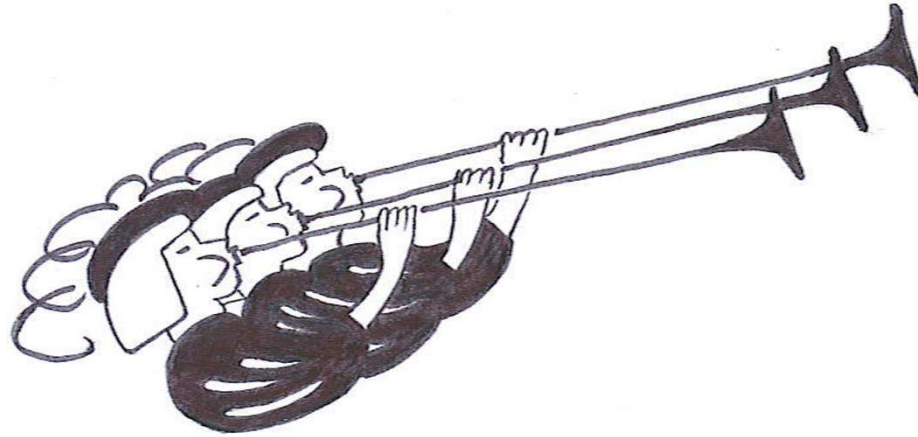


Electron

$Q > 0$

Facile pour les particules chargées

Pour le neutrino ? Hmmm



Décret

Oyez, oyez

Les leptons ont un nombre « Leptonique » = +1

Les antilepton ont un nombre « Leptonique » = -1

Les autres ont un nombre « Leptonique » = 0

Les barions (3 quarks) ont un nombre « Barionique » = +1

Les antibarions ont un nombre « Barionique » = -1

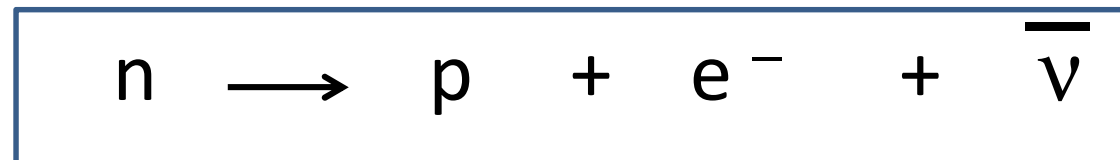
Les autres ont un nombre « Barionique » = 0

Le nombre Leptonique et le Nombre Barionique se conservent.

Exemple

	n	\longrightarrow	p	$+$	e^{-}	$+$	ν
Nombre Lepton. :	0		0		1		-1
Nombre Barion. :	1		1		0		0
Charge :	0		+1		-1		0

C'est donc un antineutrino



et ça marche toujours (jusqu'à présent)

MAIS PAS DE SYMETRIE PROFONDE ASSOCIEE

Hmmm...

Peut être que ca ne marche pas ?



Ettore Majorana

⇒ Neutrino = Anti-Neutrino

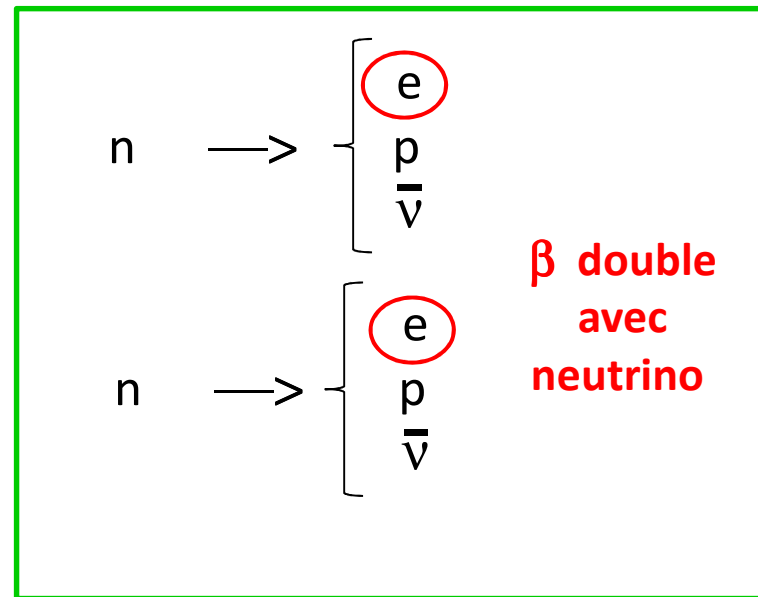
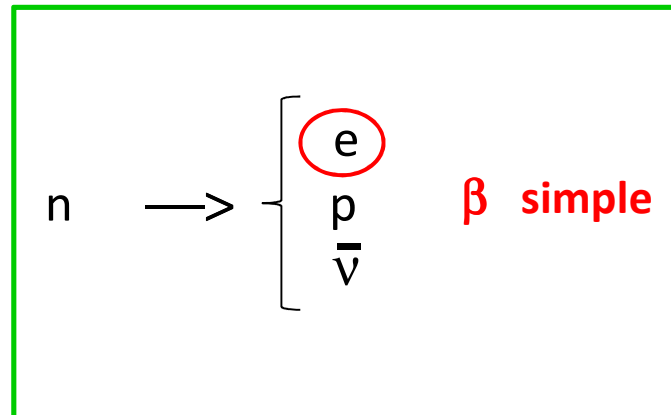
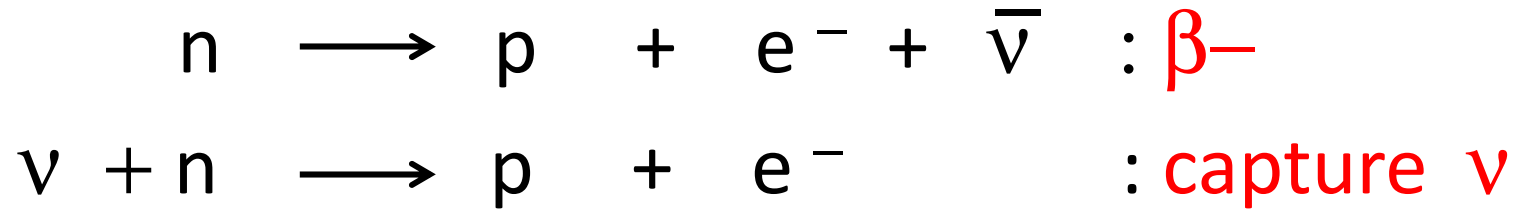
⇒ *Neutrino Majorana*

Seulement possible pour le neutrino

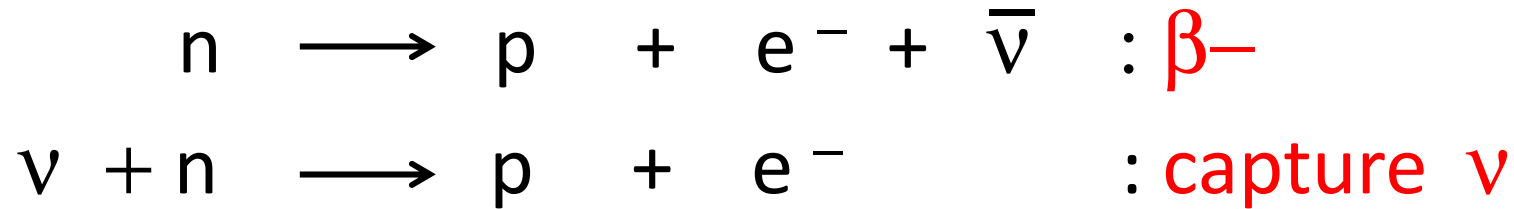
(fermion élémentaire)

⇒ Nature du neutrino (Dirac / Majorana) non connue !

Comment savoir si $\nu = \bar{\nu}$



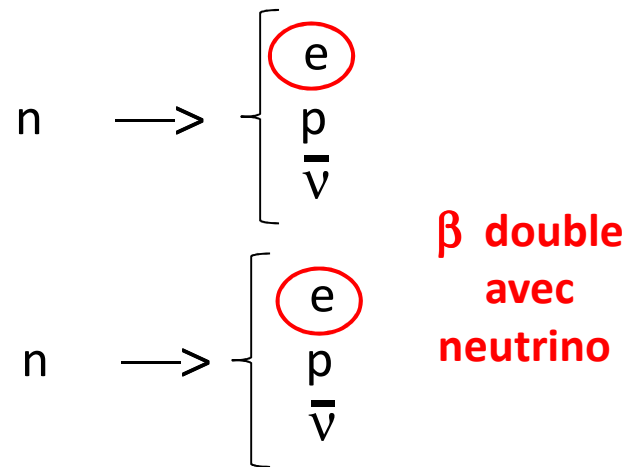
Comment savoir si $\nu = \bar{\nu}$

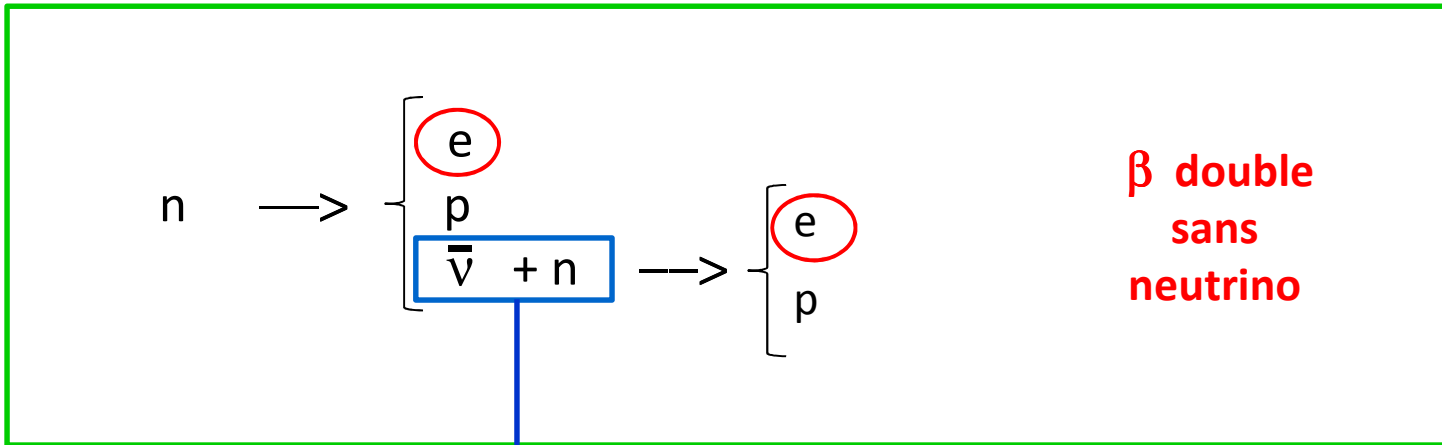


Processus radioactif le plus rare jamais observé

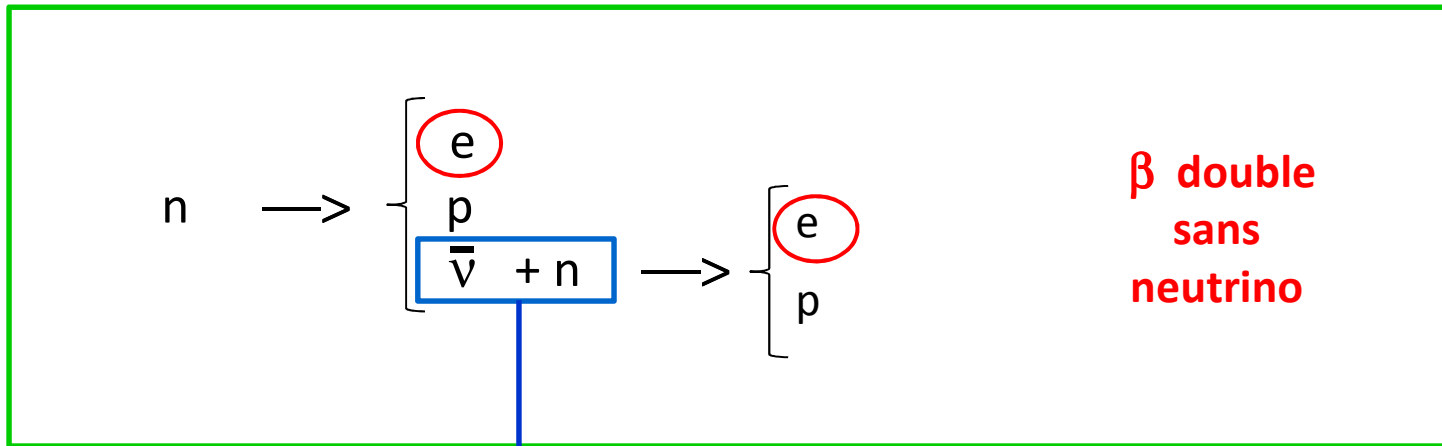
$T_{1/2} \sim 10^{24}$ années

Un million de milliards plus long que l'âge de l'Univers





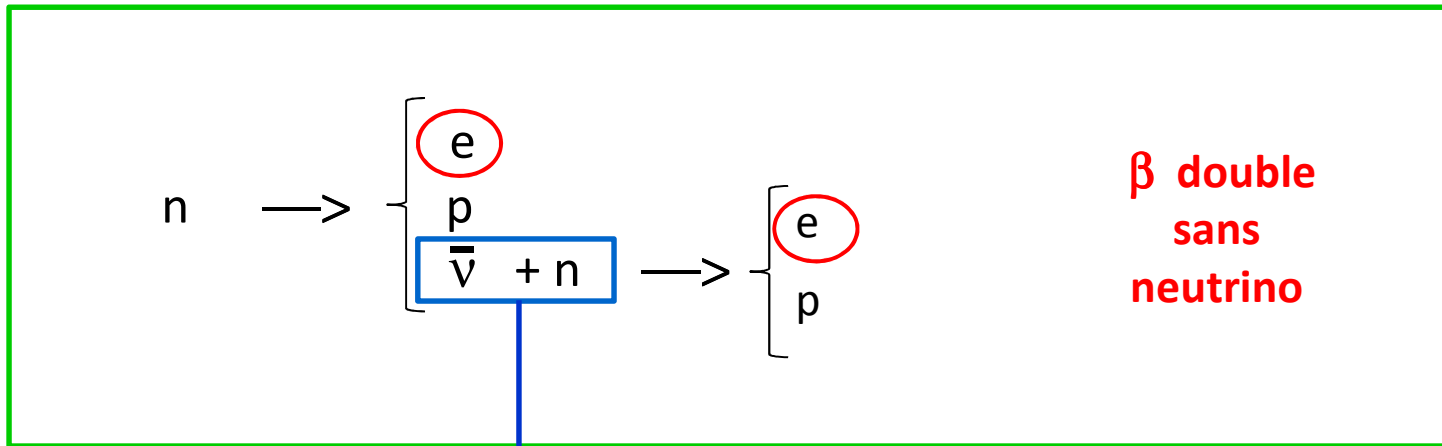
OK si $\nu = \bar{\nu} = \nu_{\text{Majorana}}$



OK si $\nu = \bar{\nu} = \nu_{\text{Majorana}}$

Impossible dans le
Modelé Standard
car le nombre
leptonique n'est
pas conserve





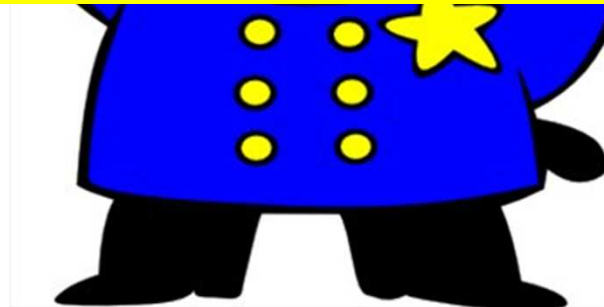
OK si $\nu = \bar{\nu} = \nu_{\text{Majorana}}$

Impossible dans le
Modèle Standard

car le
lepto
pas c

Tant mieux !

=> recherche de nouvelle physique



Physique d'extrême propreté

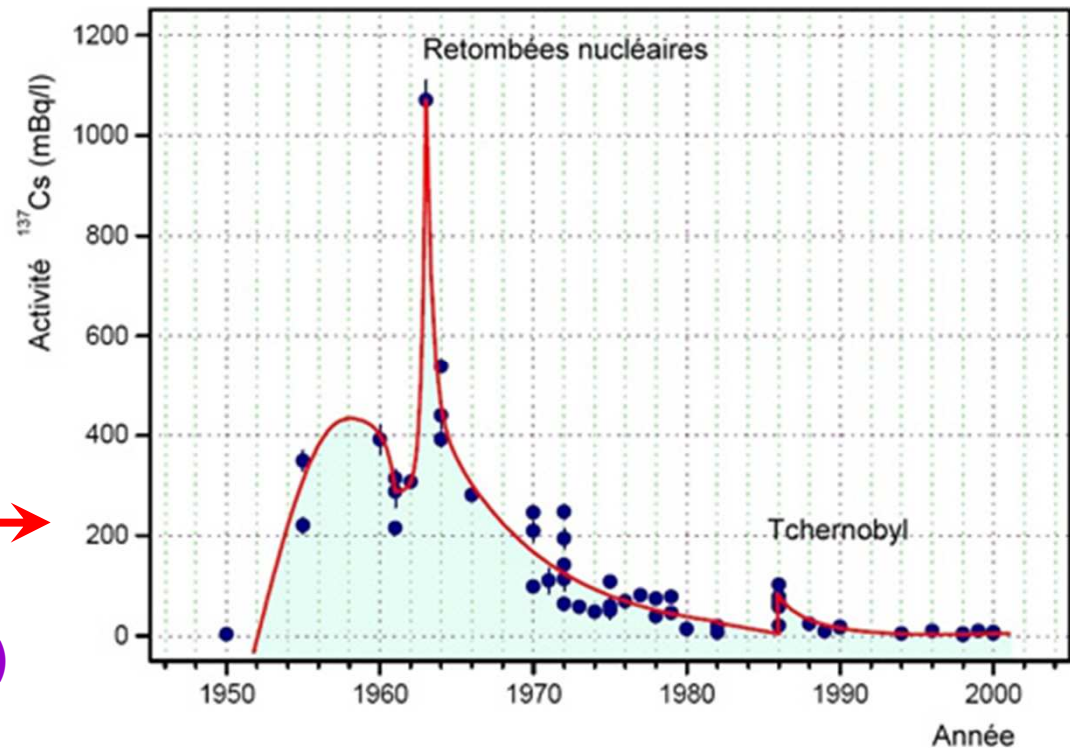


1 noyau d'uranium sur 10^{13} de cuivre
1 noyau de radon sur 10^{21} de gaz

Retombées inattendues

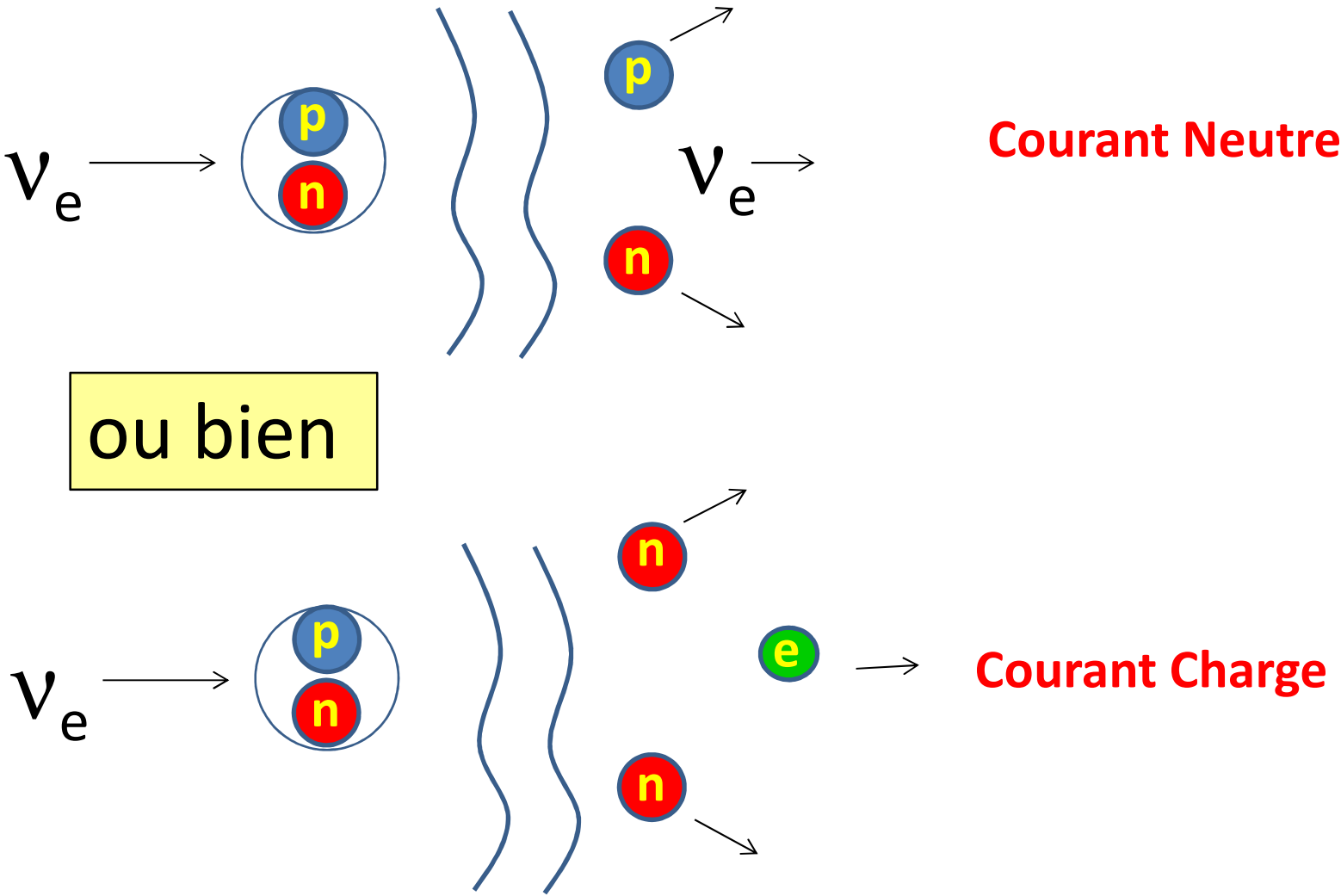


Détecteurs ultra base activité issus de la recherche de la nature du neutrino



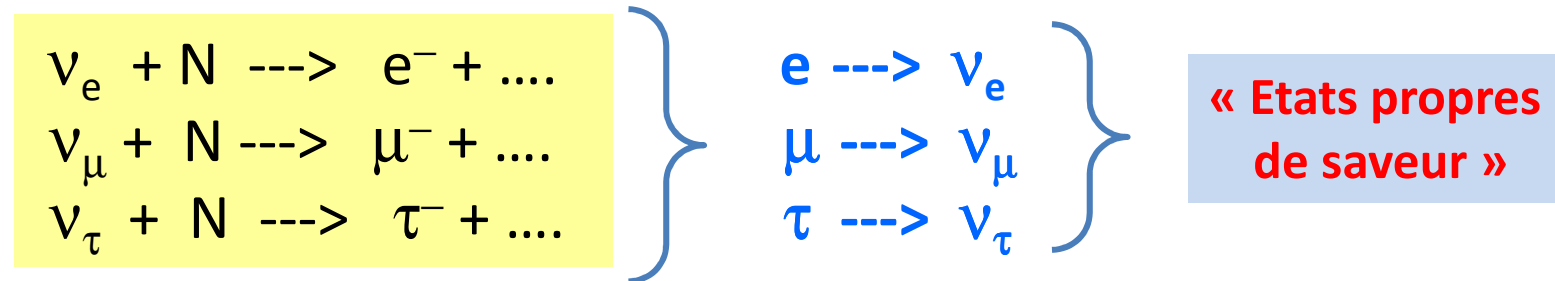
Radioactivité du vin
(Lutte contre la contrefaçon)

Un mot sur l'interaction des neutrinos



Une particule vraiment insaisissable

- Lorsqu'un neutrino interagit il le fait suivant une saveur
électronique, muonique, tauique



- Lorsqu'un neutrino se déplace il le fait avec une masse définie

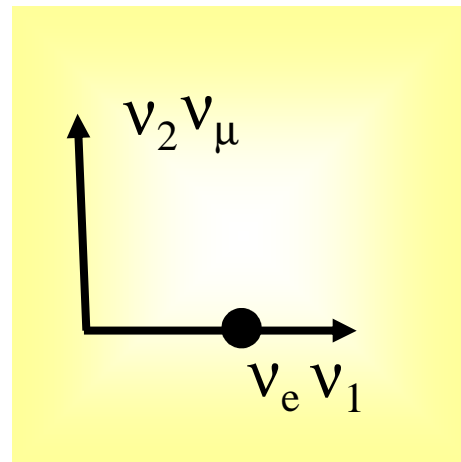
$\begin{array}{l} \nu(t)\rangle = e^{-Et} \nu\rangle \\ E = \sqrt{P^2 c^2 + m^2 c^4} \end{array}$	$\left. \begin{array}{l} m_1 \longrightarrow \nu_1 \\ m_2 \longrightarrow \nu_2 \\ m_3 \longrightarrow \nu_3 \end{array} \right\}$	« Etats propres de masse »
---	--	-----------------------------------



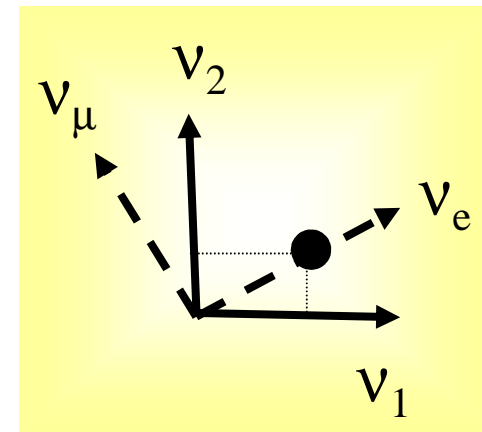
Pontecorvo
1957

Mélange de saveurs (2 neutrinos)

Etats propres de saveur et masse ne sont pas confondus



Etats propres de masse
et saveur confondus



Etats propres de masse
et saveur NON confondus

$$\begin{aligned}
 |v_e\rangle &= \cos\theta |v_1\rangle + \sin\theta |v_2\rangle \\
 |v_\mu\rangle &= -\sin\theta |v_1\rangle + \cos\theta |v_2\rangle
 \end{aligned}$$



$$\begin{bmatrix} |v_e\rangle \\ |v_\mu\rangle \end{bmatrix} = \begin{bmatrix} \cos\theta & \sin\theta \\ -\sin\theta & \cos\theta \end{bmatrix} \begin{bmatrix} |v_1\rangle \\ |v_2\rangle \end{bmatrix}$$

Matrice de mélange

Après quelques approximations, un peu d'algèbre simple et des bases en Mécanique Quantique on obtient :

Probabilité pour qu'un neutrino d'énergie E au départ électronique devienne à la distance L muonique

$$P(\nu_e \rightarrow \nu_\mu) \cong \sin^2(2\theta) \sin^2\left[\frac{\Delta m^2}{4} \frac{L}{E}\right]$$

avec $\Delta m^2 = m_2^2 - m_1^2$

Après quelques approximations, un peu d'algèbre simple et des bases en Mécanique Quantique on obtient :

Probabilité pour qu'un neutrino d'énergie E au départ électronique devienne à la distance L muonique

$$P(\nu_e \rightarrow \nu_\mu) \cong \sin^2(2\theta) \sin^2\left[\frac{\Delta m^2}{4} \frac{L}{E}\right]$$

avec $\Delta m^2 = m_2^2 - m_1^2$

Impossible dans le
Modèle Standard
car le neutrino est
SANS masse



Après quelques approximations, un peu d'algèbre simple et des bases en Mécanique Quantique on obtient :

Probabilité pour qu'un neutrino d'énergie E au départ électronique devienne à la distance L muonique

$$P(\nu_e \rightarrow \nu_\mu) \cong \sin^2(2\theta) \sin^2\left[\frac{\Delta m^2}{4} \frac{L}{E}\right]$$

avec $\Delta m^2 = m_2^2 - m_1^2$

Impossibilité
Modéliser
car le neutrino
SANS masse

**Tant mieux !
=> Physique au-delà du SM**

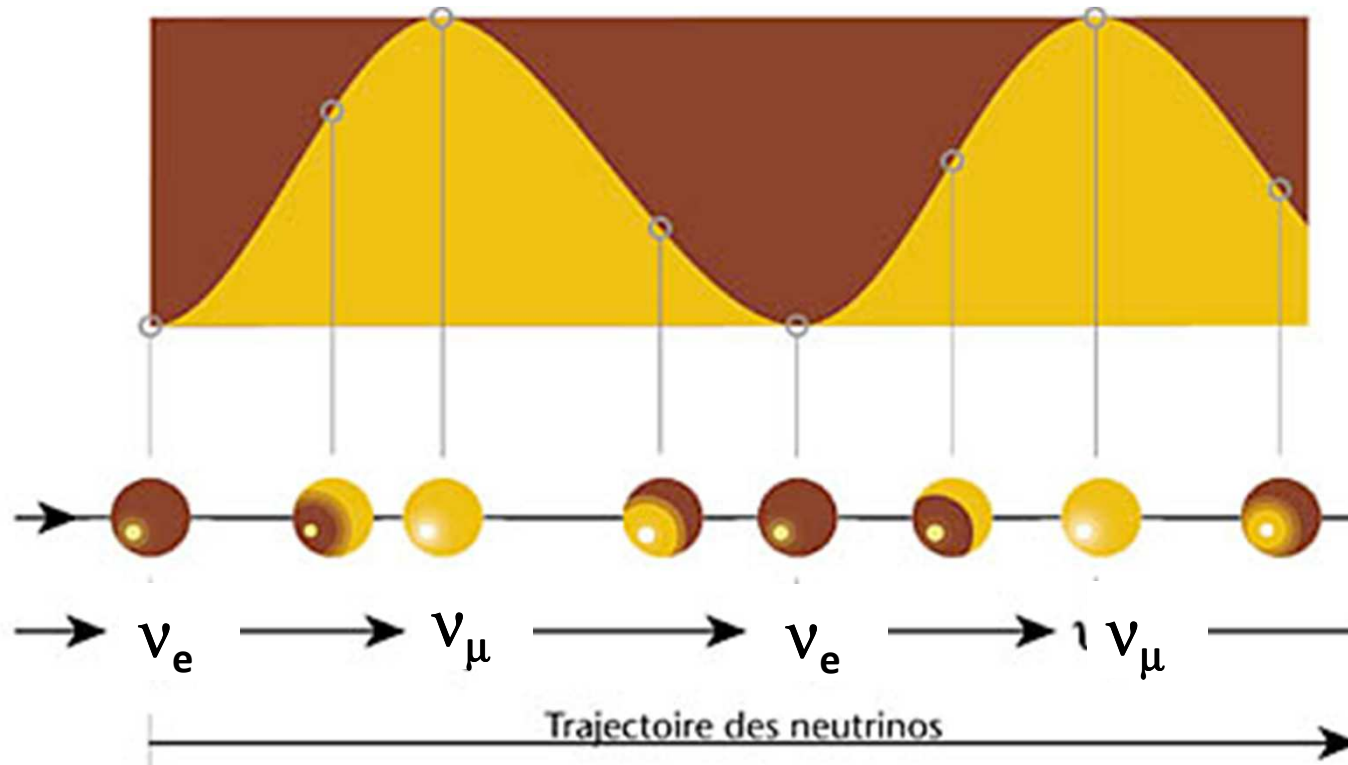


Oscillations de neutrinos

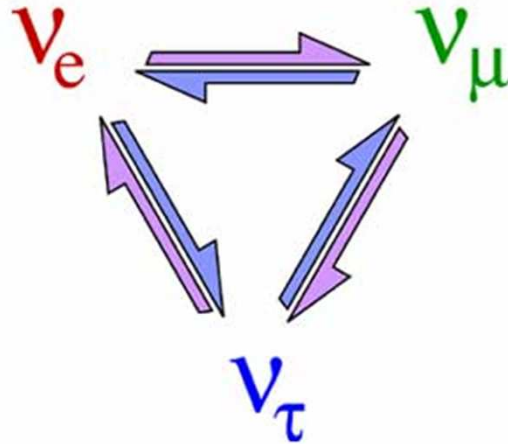
$$P(\nu_e \rightarrow \nu_\mu) \cong \sin^2(2\theta) \sin^2\left[\frac{\Delta m^2 L}{4E}\right]$$

Amplitude

Oscillation



Oscillations à trois neutrinos



Ca se complique un peu !

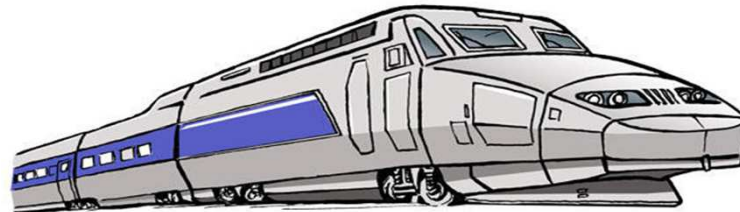
$$\begin{pmatrix} \cos \theta_{12} & \sin \theta_{12} & 0 \\ -\sin \theta_{12} & \cos \theta_{12} & 0 \\ 0 & 0 & 1 \end{pmatrix} \begin{pmatrix} \cos \theta_{13} & 0 & \sin \theta_{13} e^{i\delta} \\ 0 & 1 & 0 \\ -\sin \theta_{13} e^{i\delta} & 0 & \cos \theta_{13} \end{pmatrix} \begin{pmatrix} 1 & 0 & 0 \\ 0 & \cos \theta_{23} & \sin \theta_{23} \\ 0 & -\sin \theta_{23} & \cos \theta_{23} \end{pmatrix}$$

Matrice de mélange Pontecorvo - Maki - Makagawa - Sakata

« Neutrino oscillations for pedestrians »



Paris Gare de Lyon



Marseille Gare St Charles

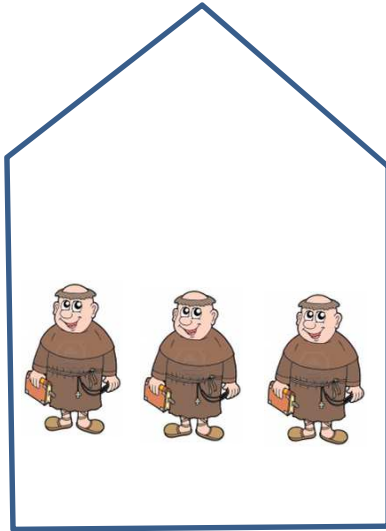
Transformation en solitaire
(Oscillations dans le vide)

ou

Transformation par influence du milieu
(Oscillations dans la matière : MSW)

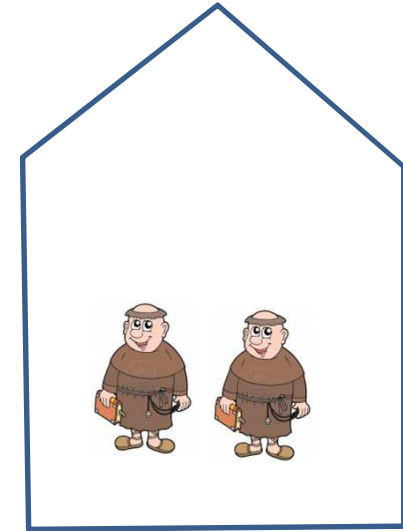
« Neutrino oscillations for pedestrians »

Comment faire une expérience

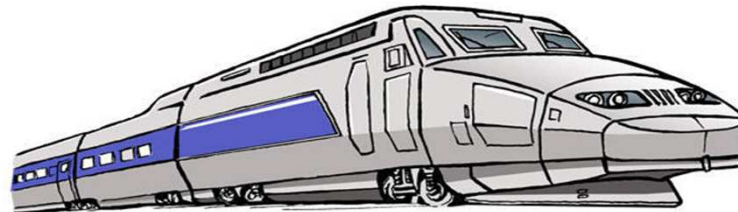


Paris Gare de Lyon

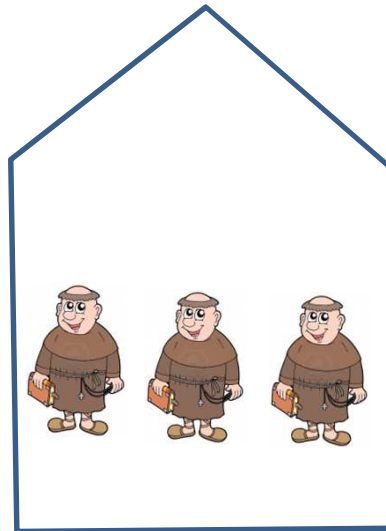
disparition



Marseille Gare St Charles



apparition



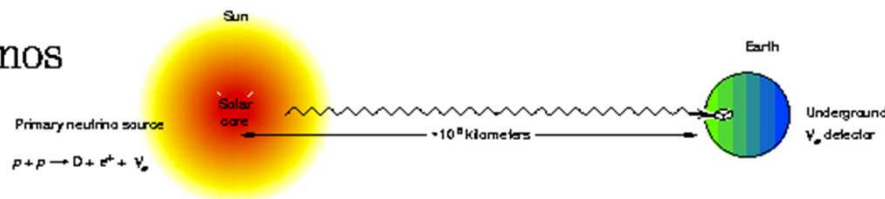
Paris Gare de Lyon



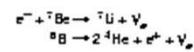
Marseille Gare St Charles

Diverses sources pour étudier les oscillations

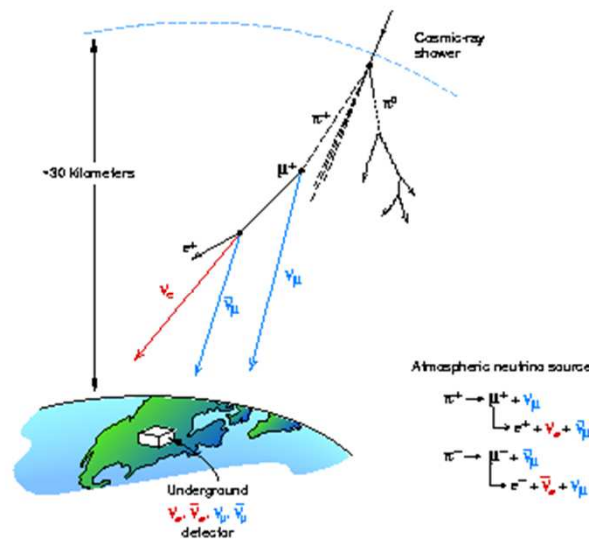
Solar neutrinos



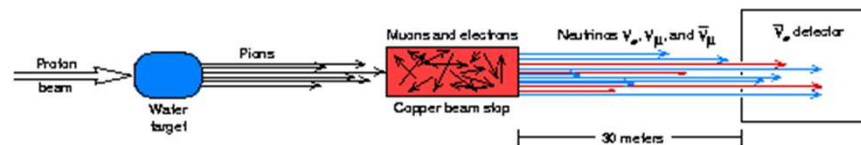
Other sources of neutrinos:



Atmospheric neutrinos



Artificial neutrino beams (Reactors & Accelerators)

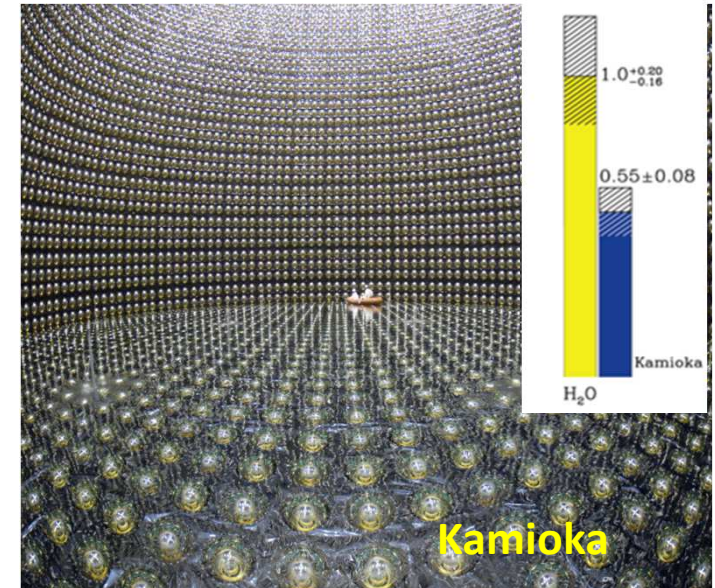
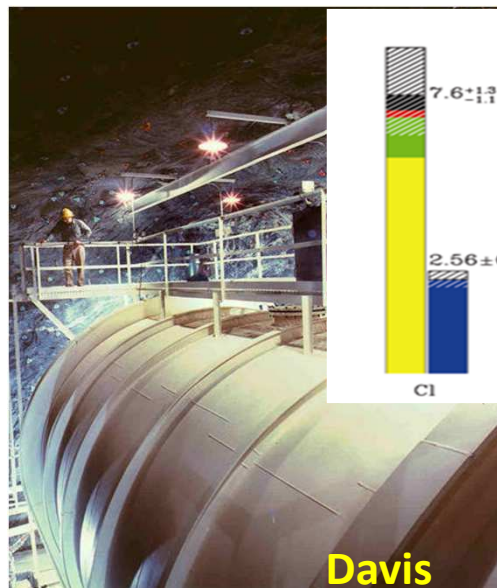
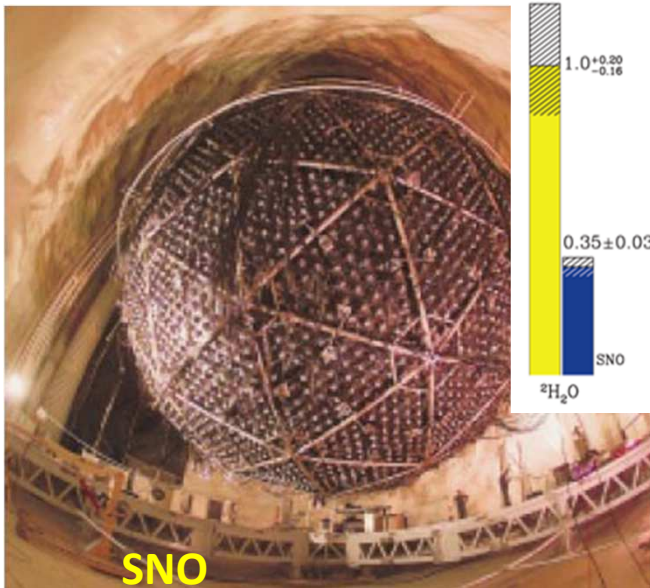


Paramètres d'oscillation

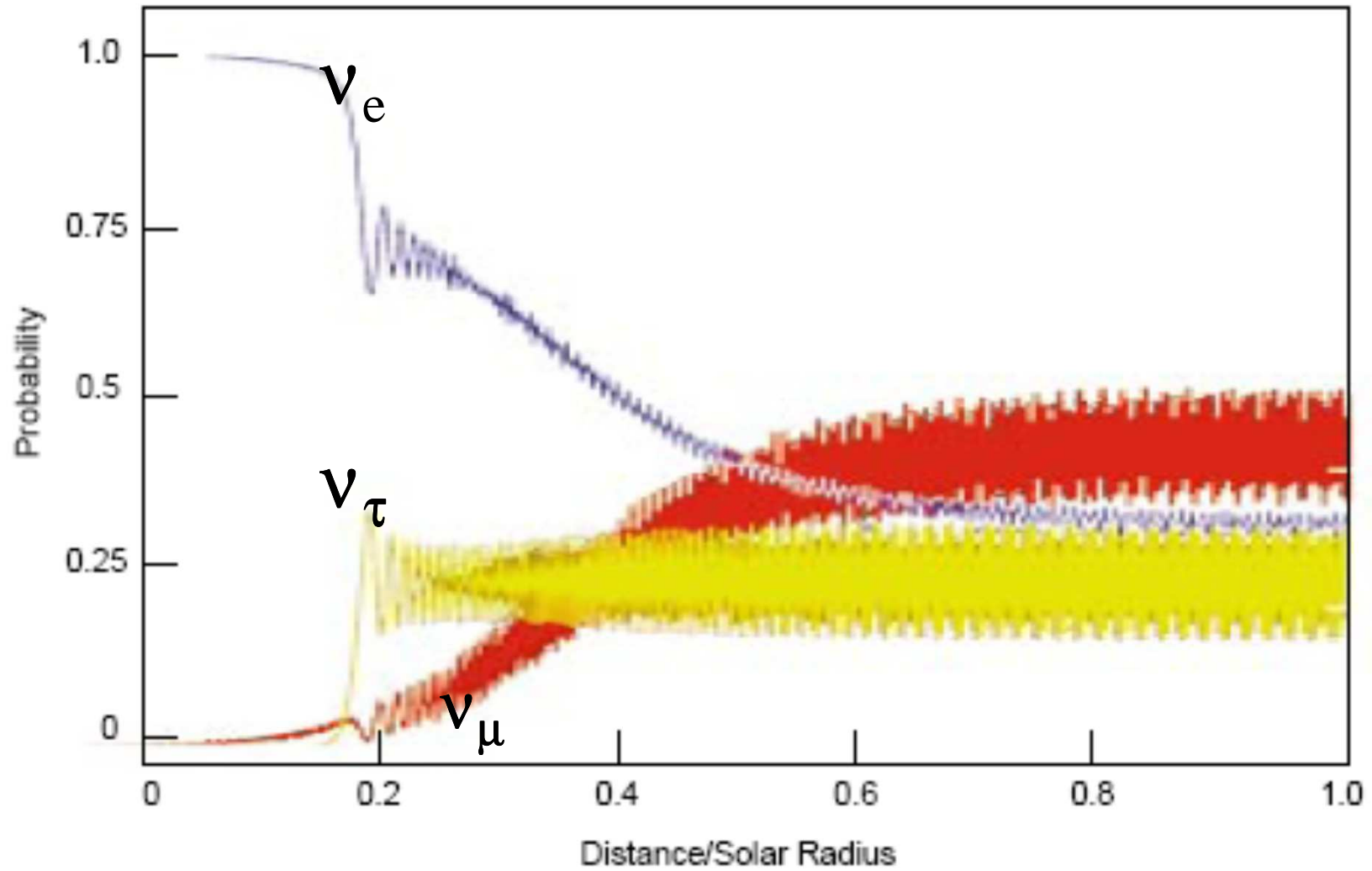
$$\sin^2 \left[\frac{\Delta m^2}{4} \frac{L}{E} \right]$$

Distance : L
 Energie : E

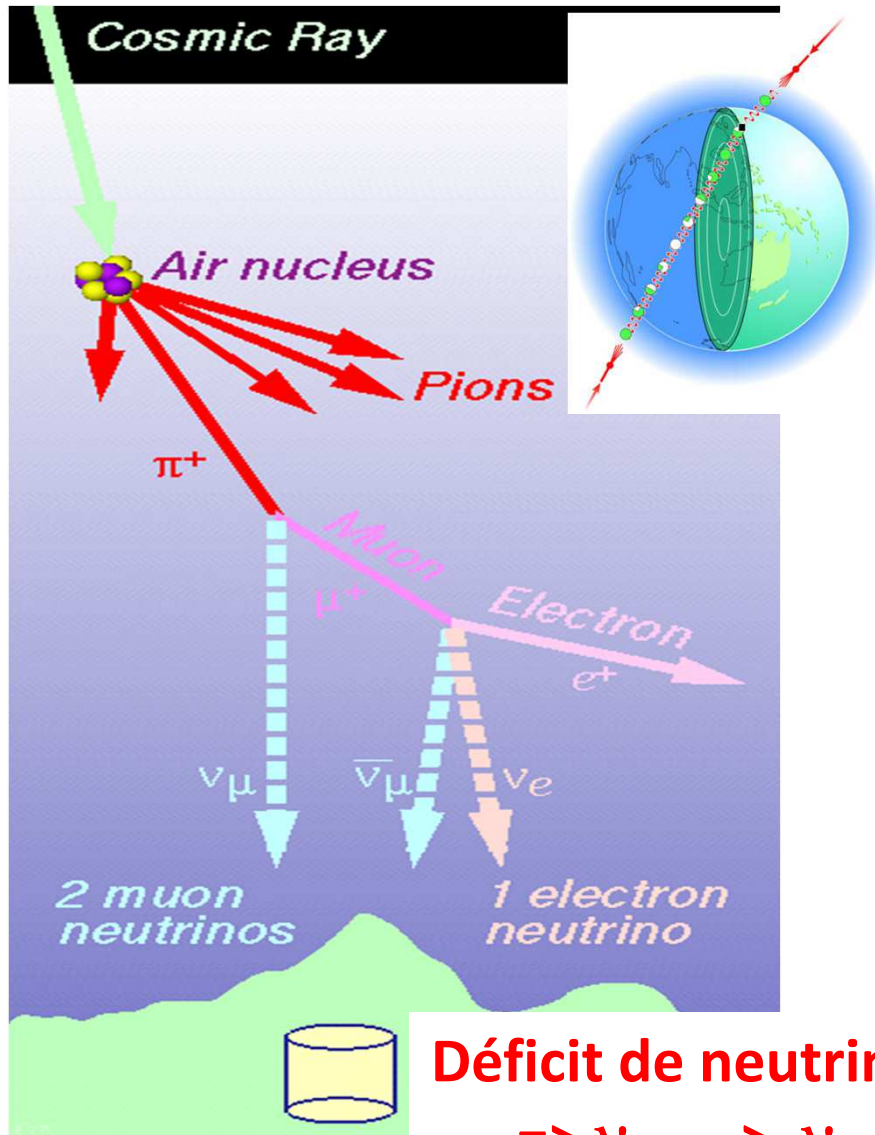
Neutrinos du soleil



Oscillations dans la matière solaire

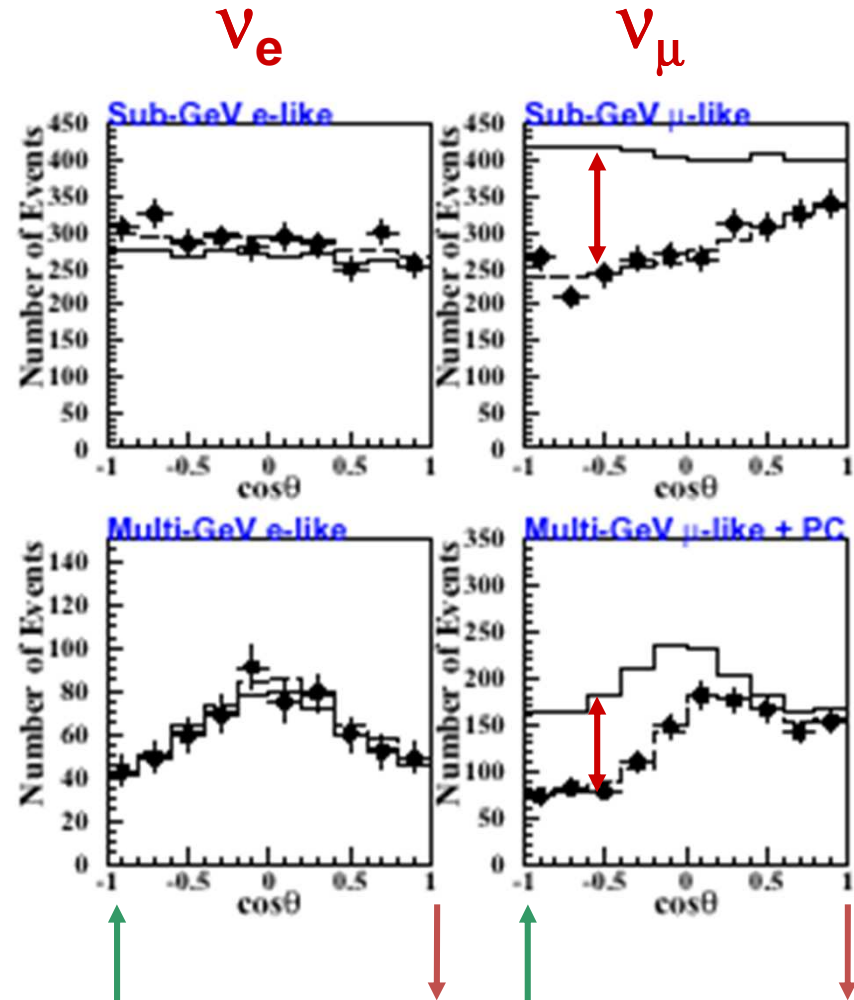


Neutrinos atmosphériques

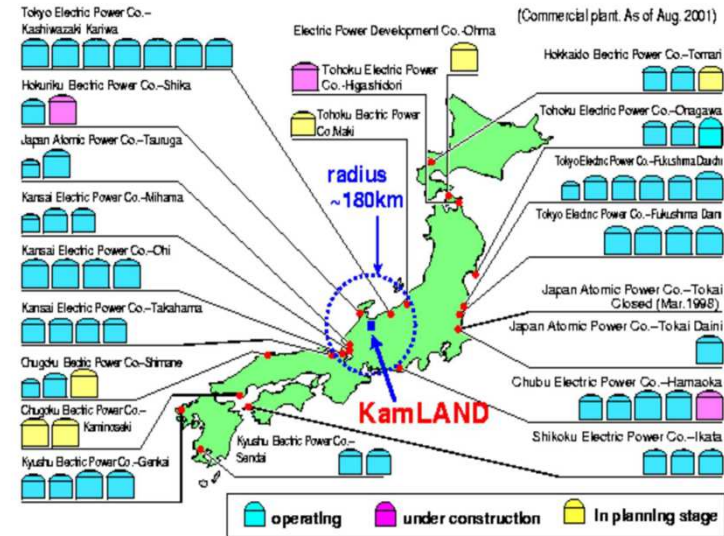


Déficit de neutrinos

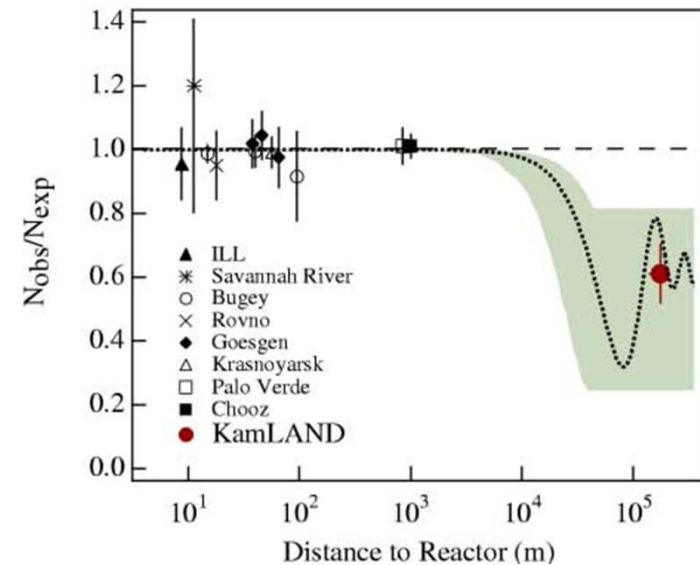
$$\Rightarrow \nu_\mu \dashrightarrow \nu_\tau$$



Neutrinos « nucléaires »



Déficit de neutrinos (en fin)
 $\Rightarrow \nu_e \rightarrow \nu_\mu$



Neutrinos des accélérateurs



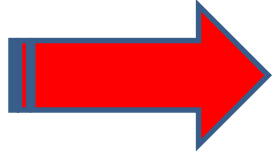
$$\nu_e \leftarrow \nu_\mu$$

81 évènements ν_μ si pas d'oscillation

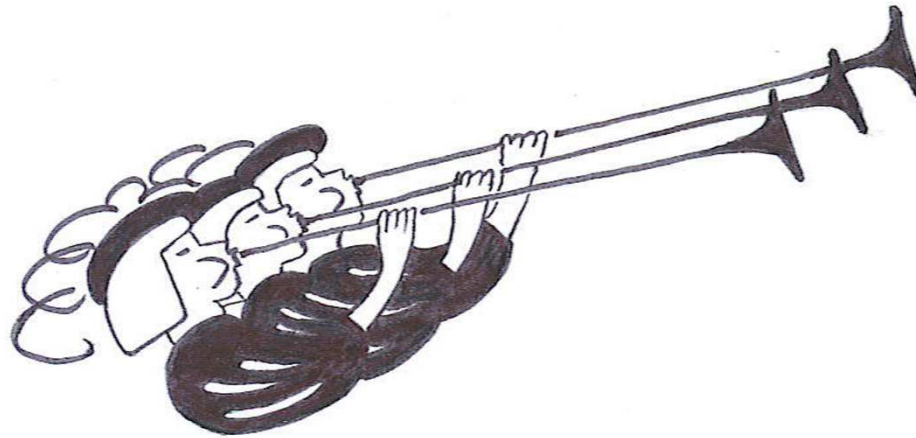
56 évènements ν_μ observés

Deficit de neutrinos

Les neutrinos oscillent !

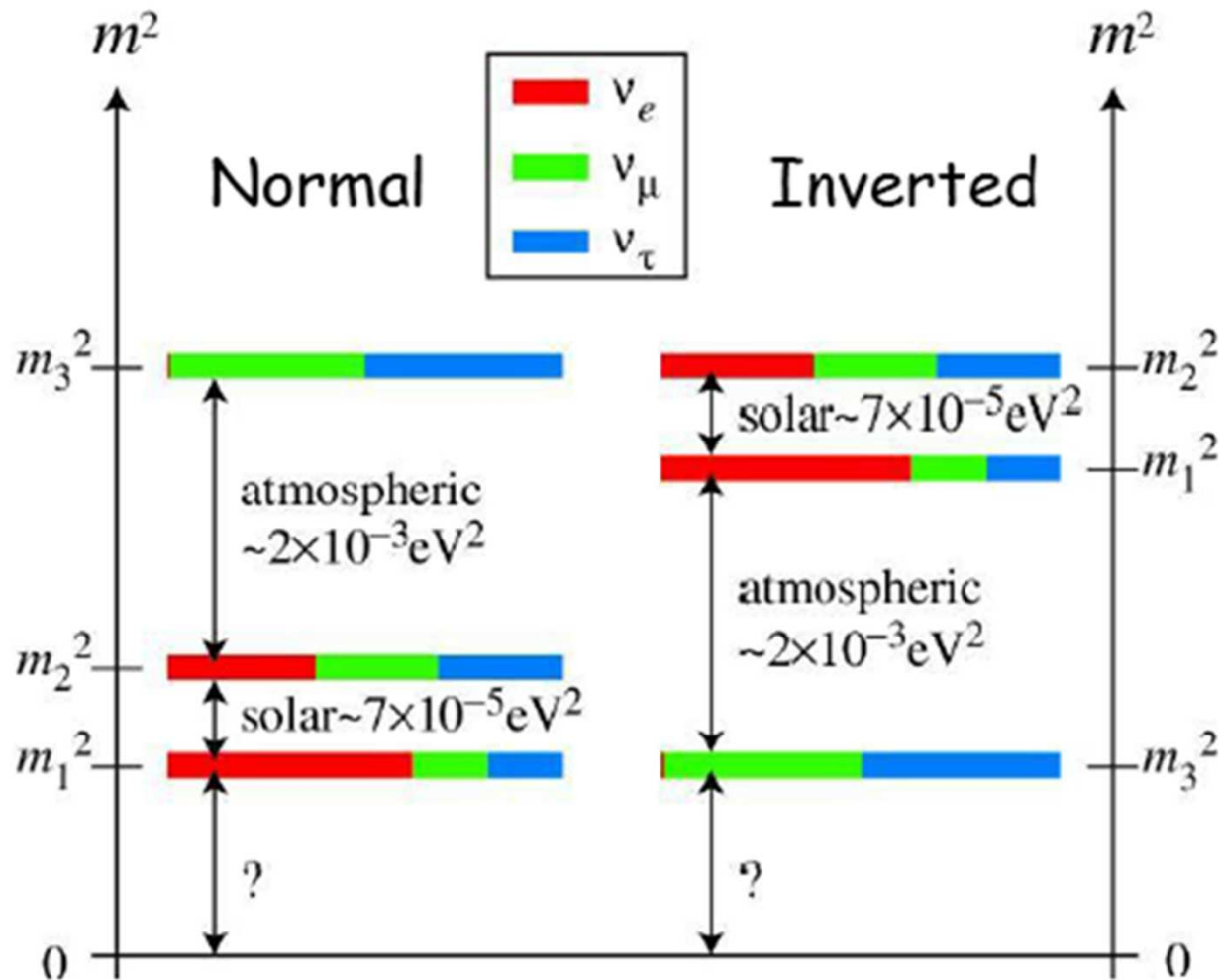


$$\Delta m^2 = m_2^2 - m_1^2$$



Le Modèle Standard est « Faux »

Massifs et mélangés



Hiérarchie ???

A la recherche d'une apparition

MINOS (USA)

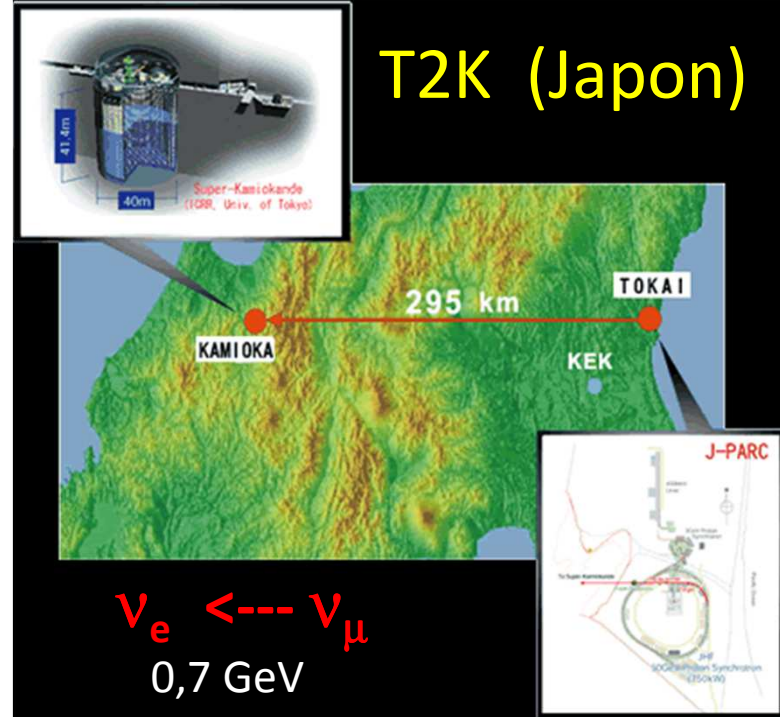


$$\nu_e \longleftrightarrow \nu_\mu$$

2 – 6 GeV

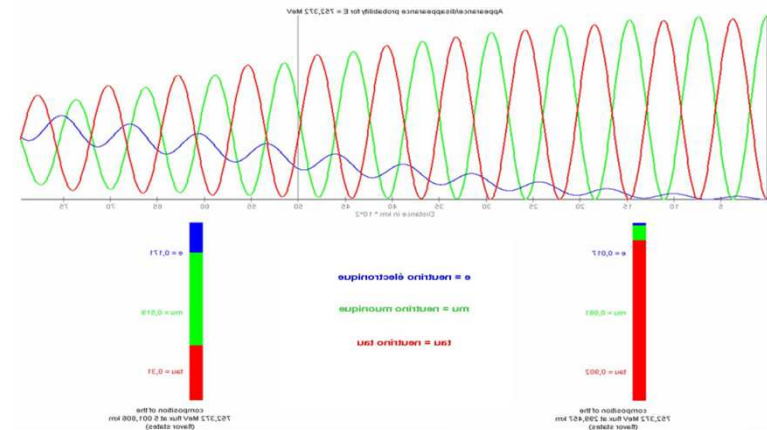
735 km

T2K (Japon)



$$\nu_e \longleftrightarrow \nu_\mu$$

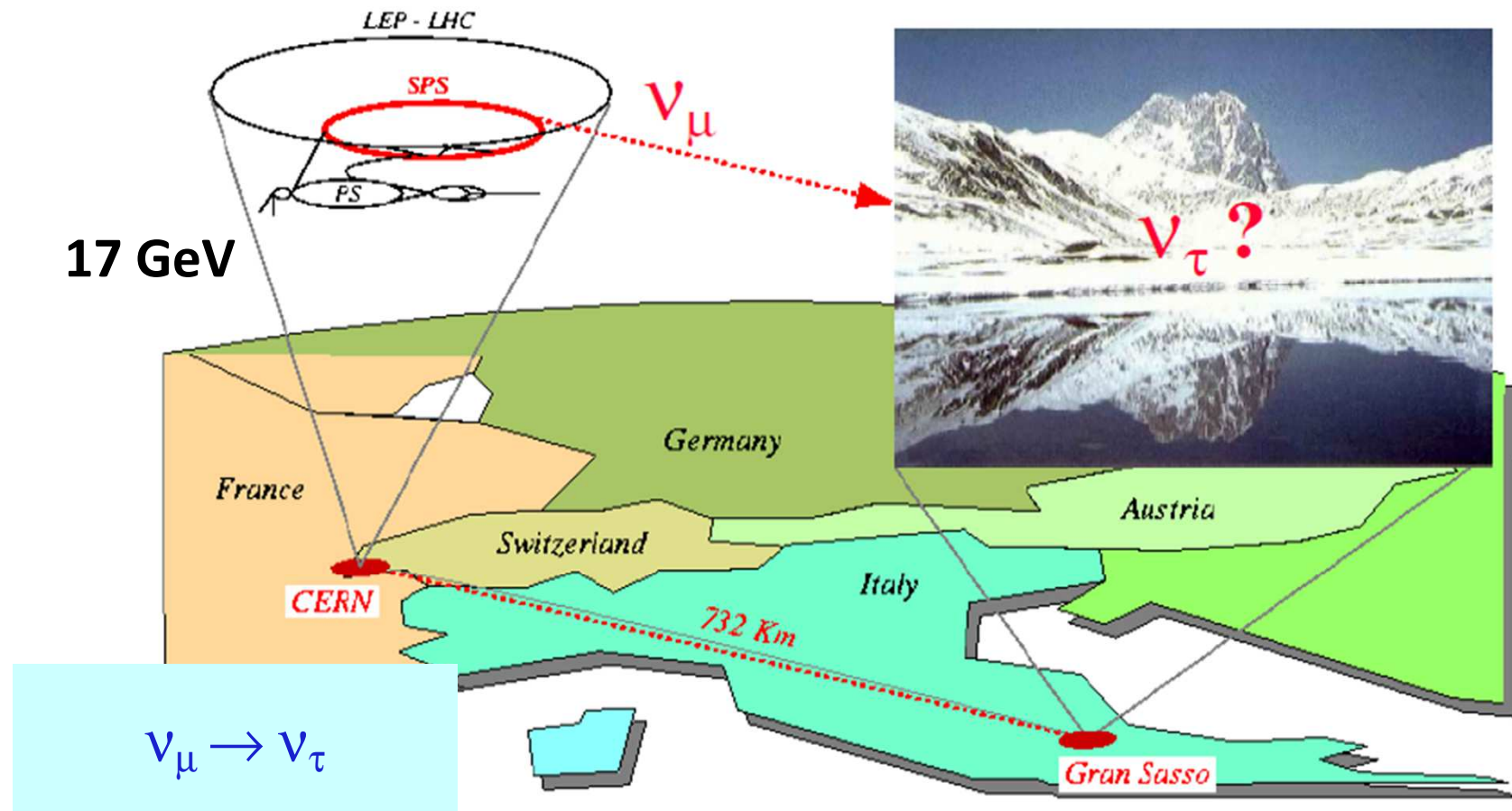
0,7 GeV



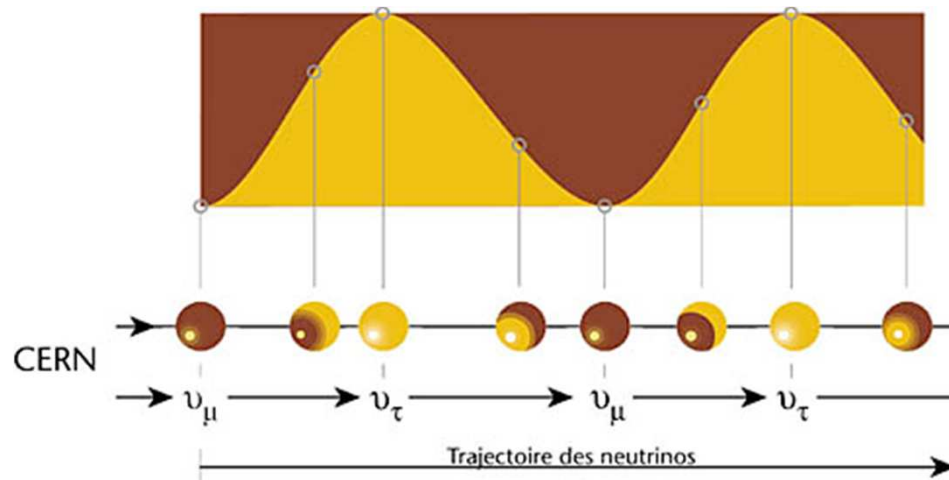
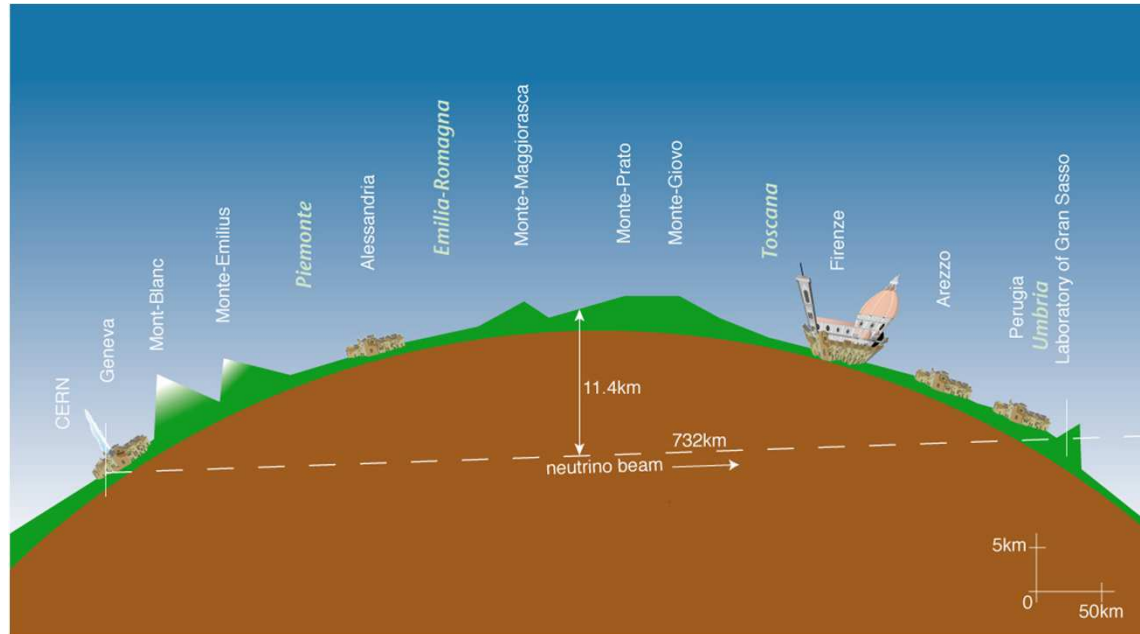
A la recherche d'une apparition

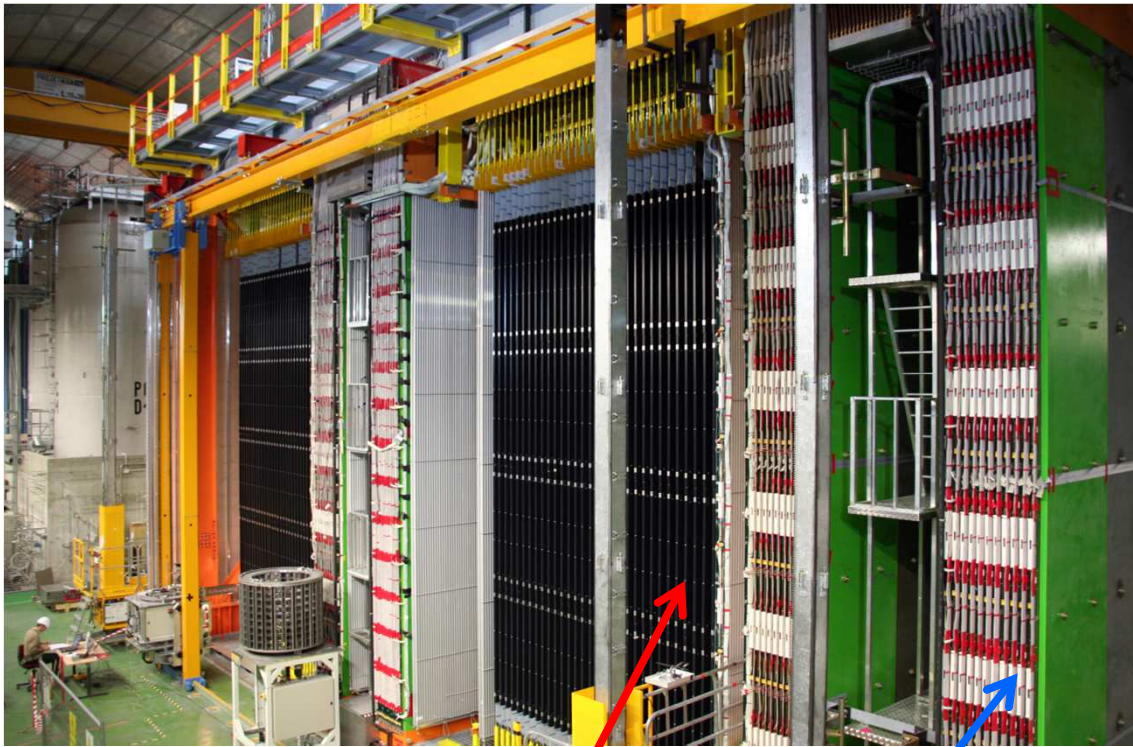
OPERA :

recherche de l'oscillation des neutrinos entre le CERN et le Gran Sasso

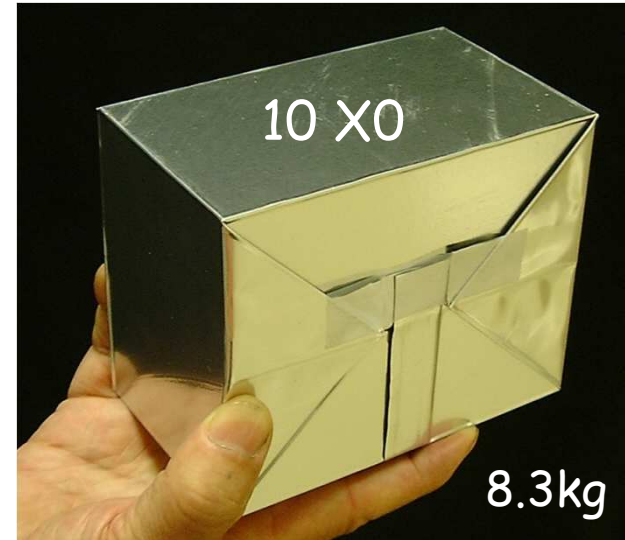


Expérience OPERA





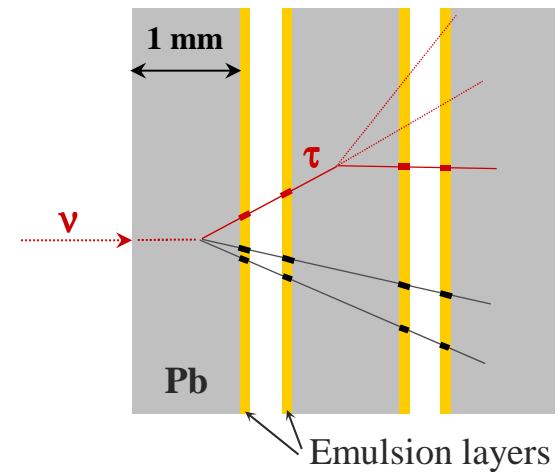
Détecteur OPERA



Plaques photo

target Tracker

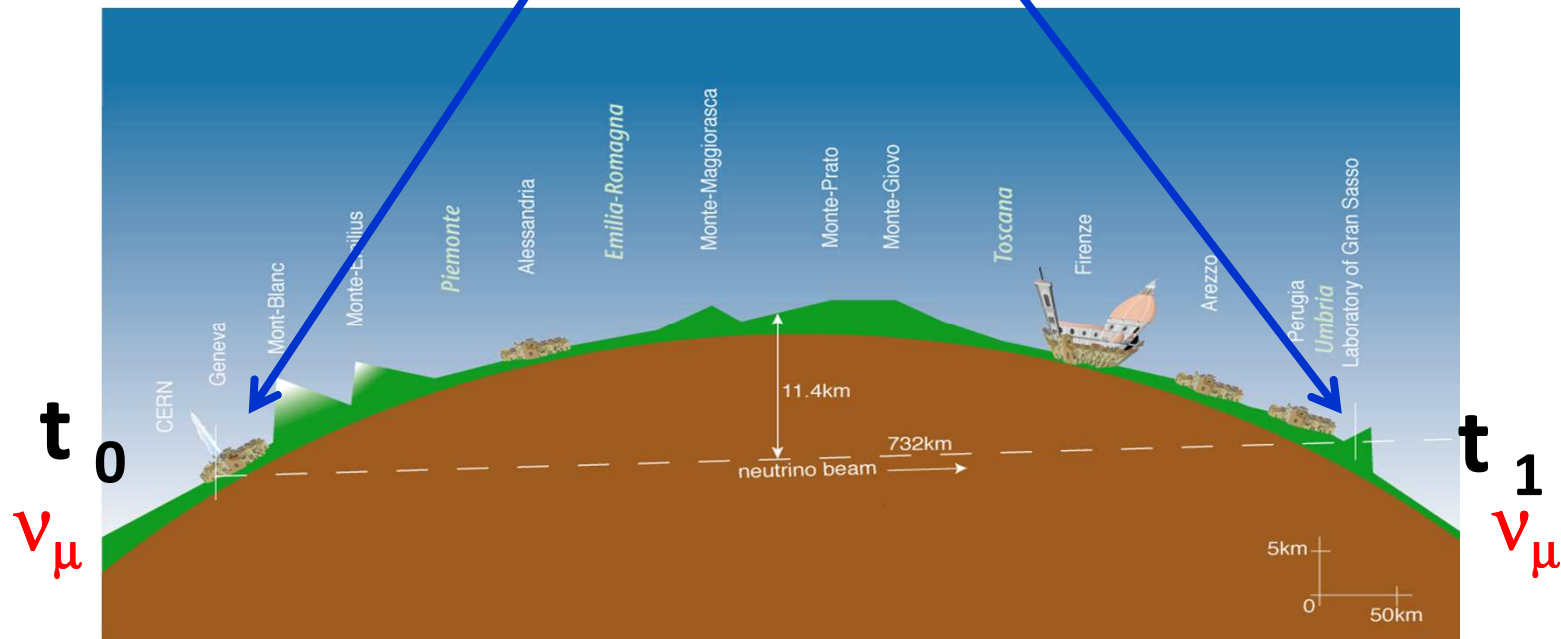
Oscillation $\nu_\mu \rightarrow \nu_\tau$ déjà observée



Comment savoir si le neutrino est plus rapide que la lumière ?



Satellite GPS



Connaissant Δt et la distance \Rightarrow vitesse

 $\pm 20 \text{ cm} \quad !!$

$$\frac{v - c}{c} = (2,48 \pm (0,28)_{stat} \pm (0,30)_{syst}) \times 10^{-5}$$

v : vitesse du neutrino

c : vitesse de la lumière dans le vide

$\Rightarrow v > c \quad !!!$

\Rightarrow **7 Km/s de plus que la vitesse de la lumière**

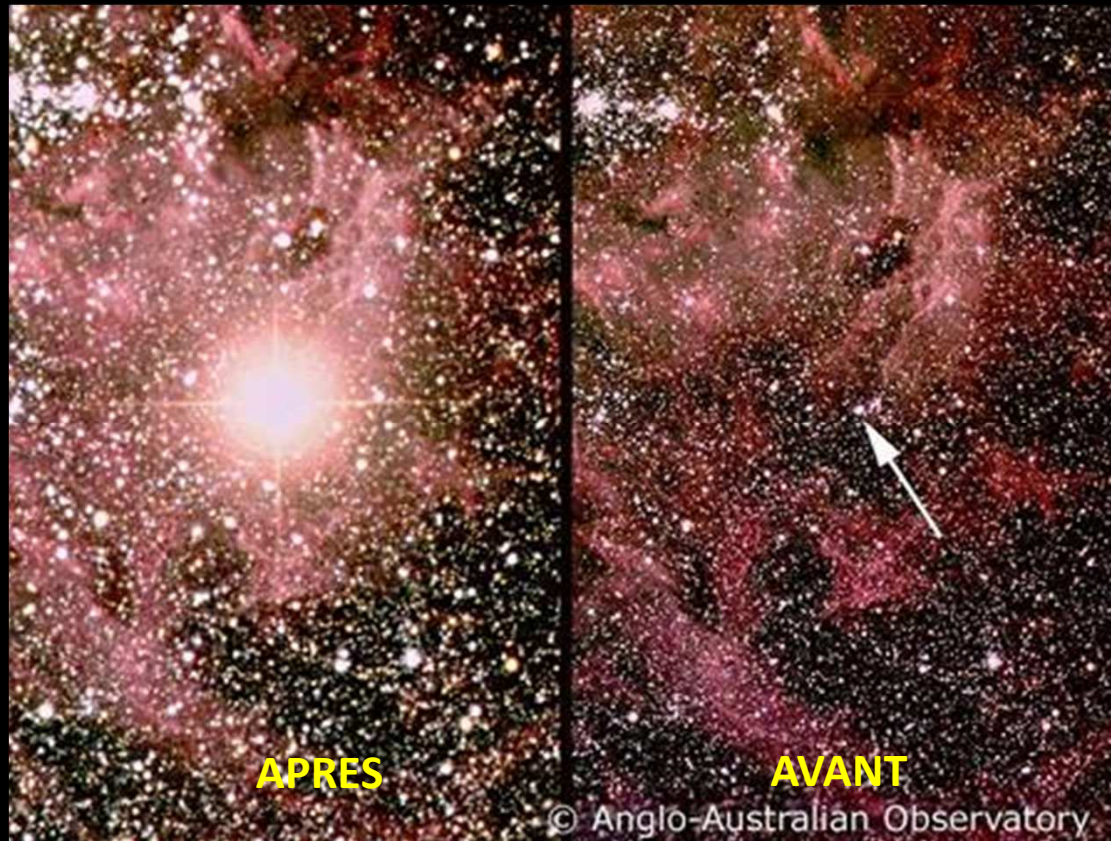
\Rightarrow **60 ns avant la lumière**

En relativité c est la vitesse d'information la plus grande possible

!?!?!?!?

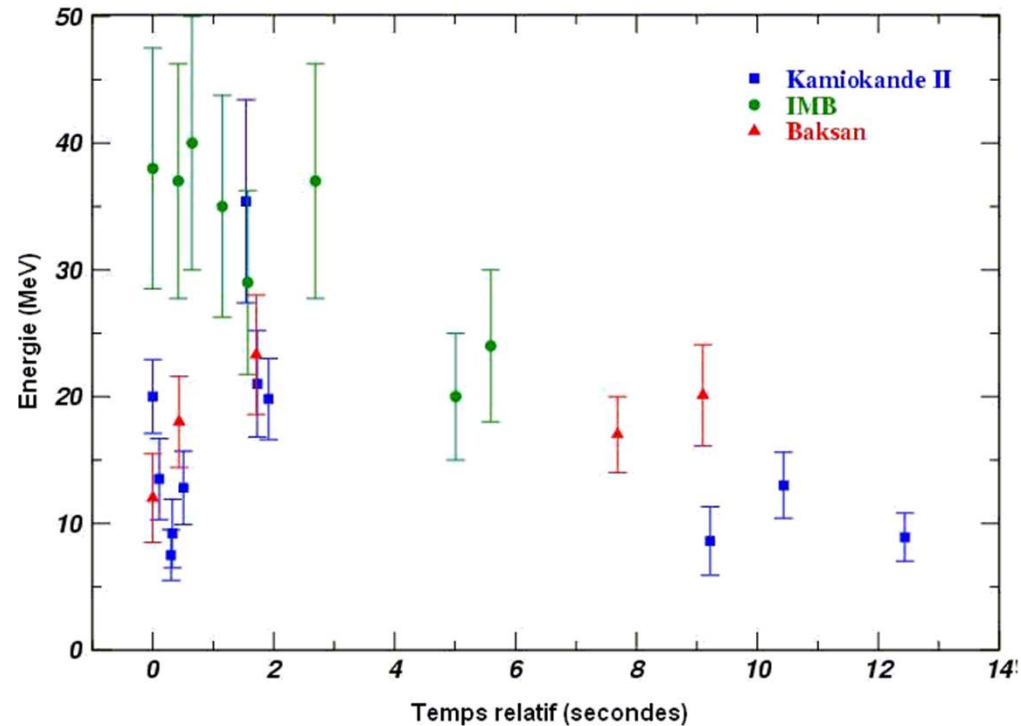
SN1987A

SN 1987 A Grand Nuage de Magellan
~ 179 000 a.l.



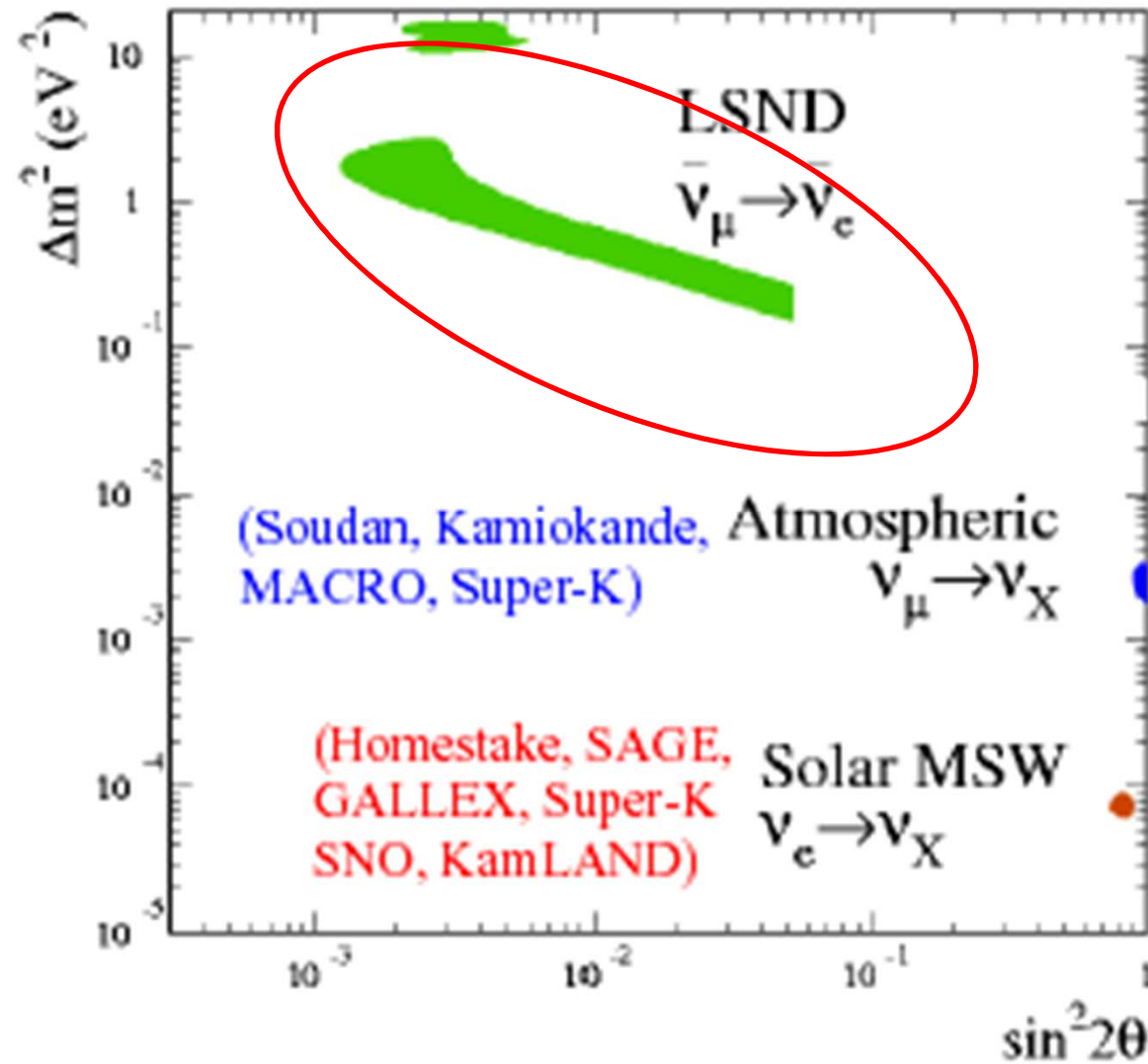
On a vu les neutrinos de SN1987A

~ 4 avant la lumière



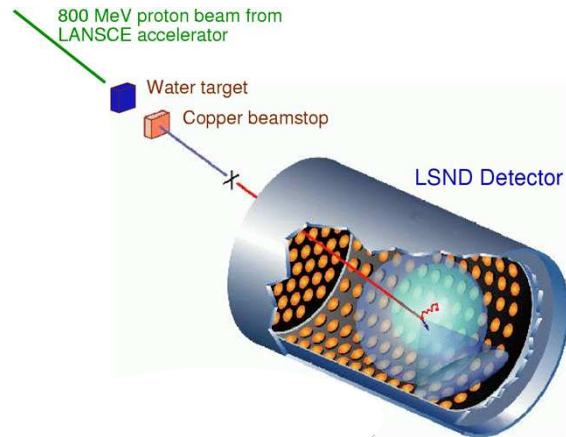
OPERA => les neutrinos doivent arriver ~ 4 ans avant la lumière !!???

REVENONS AUX OSCILLATIONS



Effets oscillations
positifs

LSND $\bar{\nu}_\mu \rightarrow \bar{\nu}_e$



Apparition de ν_e (~2000)



Incompatible avec neutrinos solaires, atmosphériques et réacteur.



Neutrino stérile !!

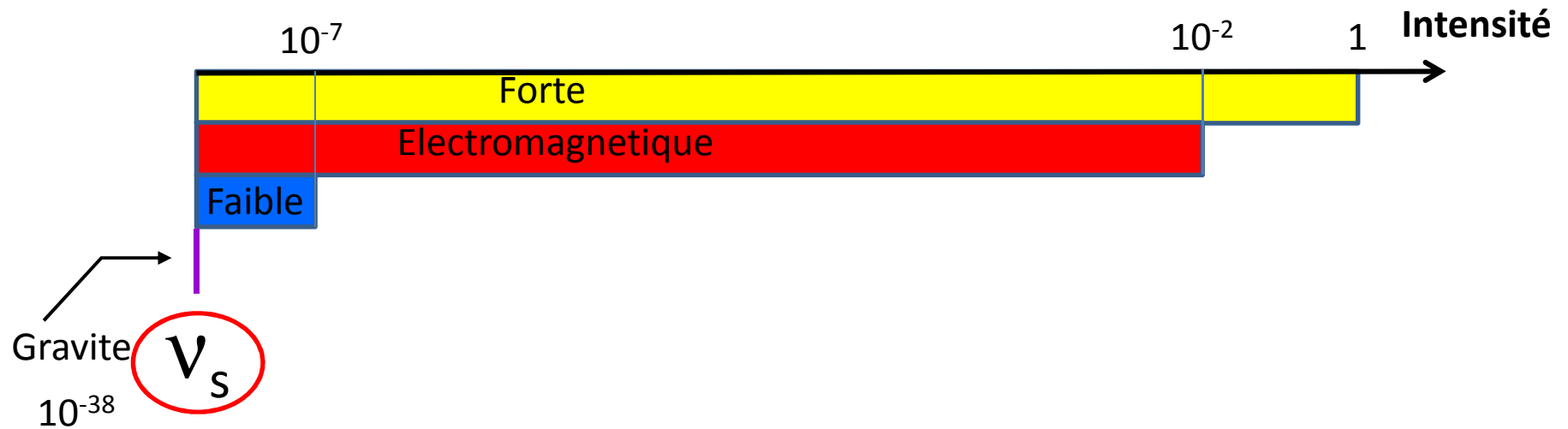
MiniBooNE

Confirmation de LSND !!

(2011)



Neutrino stérile



Il ne sent que la gravite (??!!)

Intéressant en cosmologie
Désespèrent pour la détection

Neutrinos et cosmologie

$$\rho_\nu \sim 330 /\text{cm}^3 \text{ (from Big Bang)}$$

$$\langle E \rangle \sim 0.0004 \text{ eV (from Big Bang)}$$

$$R_{\text{universe}} \sim 10^{10} \text{ lightyears}$$

$$V_{\text{universe}} \sim 4 \times 10^{84} \text{ cm}^3$$

$$N_\nu \sim 10^{87}$$

$$E_\nu(\text{total}) \sim 4 \times 10^{83} \text{ eV}$$

$$M_\nu(\text{equivalent}) \sim 7 \times 10^{47} \text{ kg}$$

$$M_{\text{universe}}(\text{visible}) \sim 4 \times 10^{52} \text{ kg}$$

Are Neutrinos Massless?



Le neutrino est la particule
la plus fantastique connue.